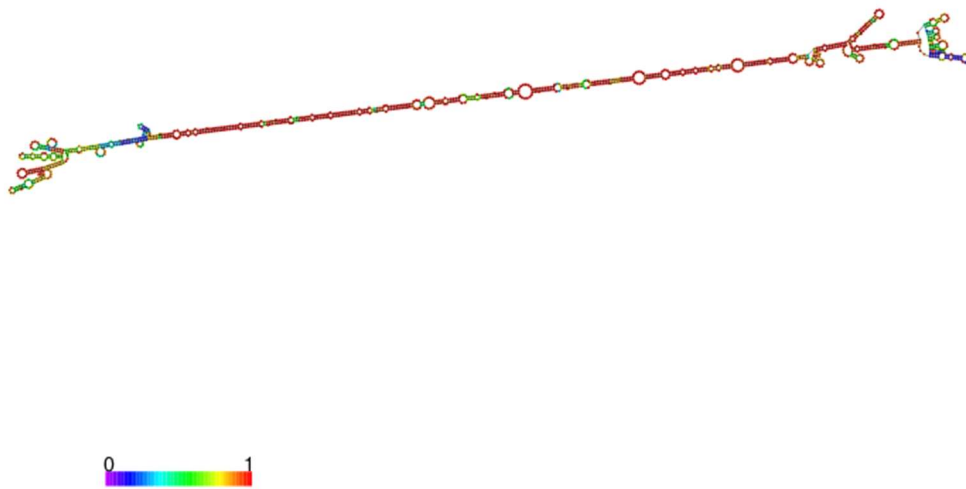
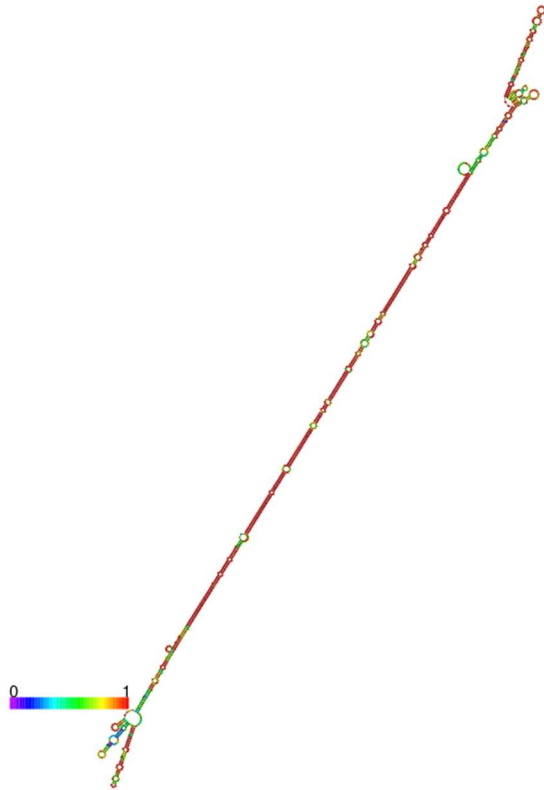


ANEXO I. Estructuras secundarias predichas por RNAfold de los contigs de virus Delta encontrados por Infernal



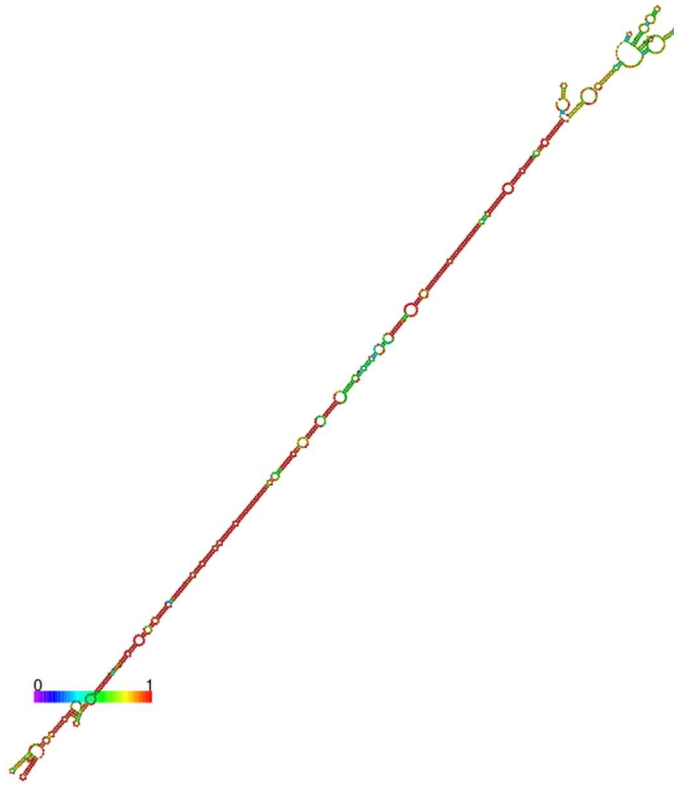
Contig NODE_25045_length_1154_cov_11.748381 encontrado en SRR6943202



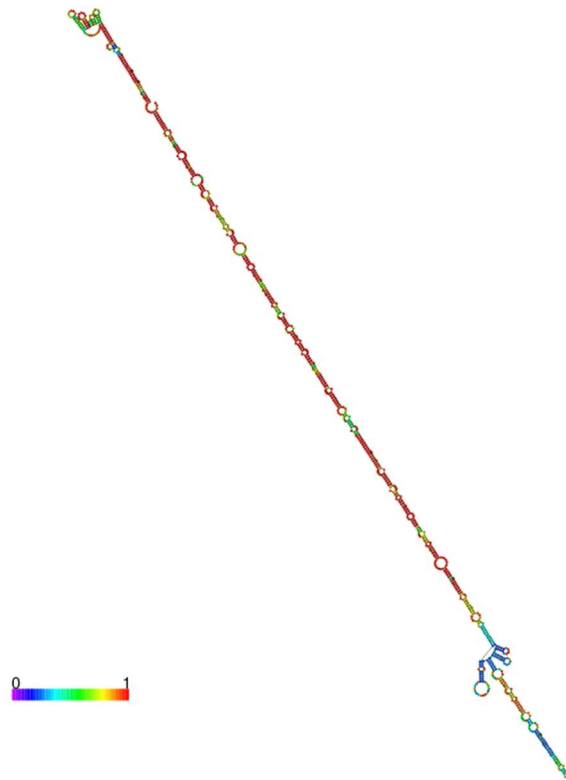
Contig NODE_27947_length_1103_cov_54.734951 encontrado en SRR6943202



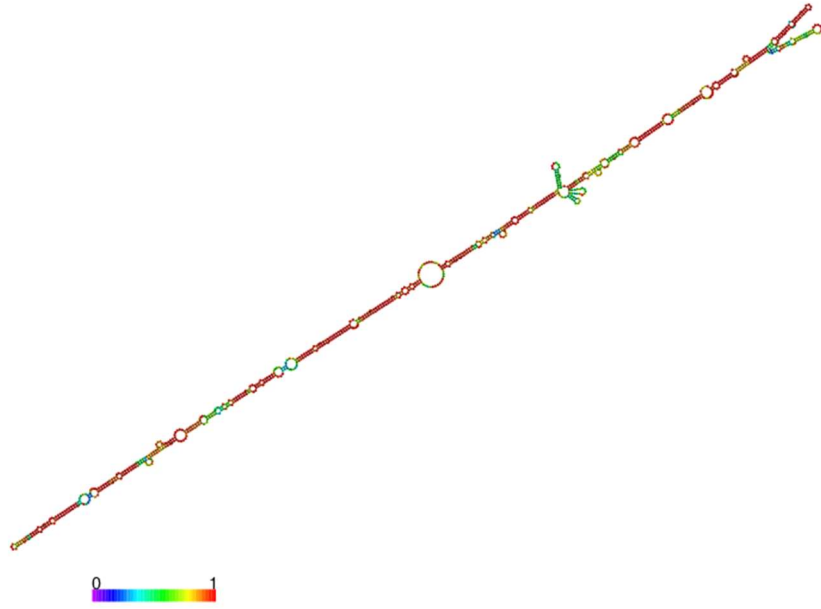
Contig NODE_2637_length_2831_cov_16.006889 encontrado en SRR6943202



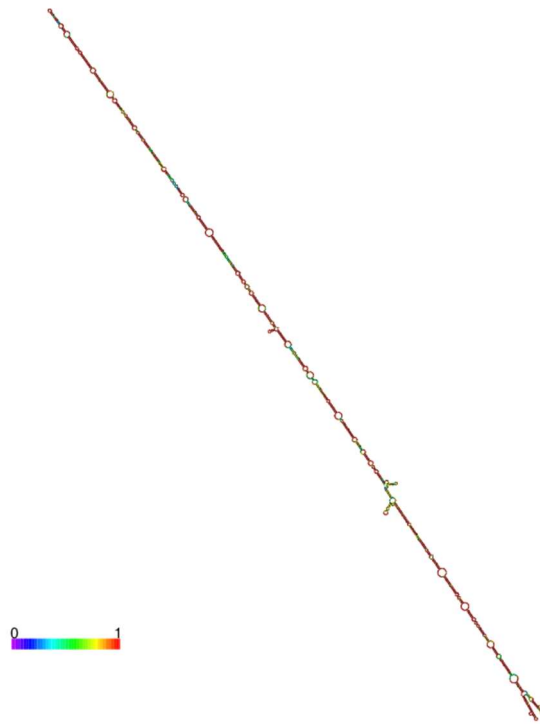
Contig *NODE_31272_length_1053_cov_13.721429* encontrado en SRR6943202



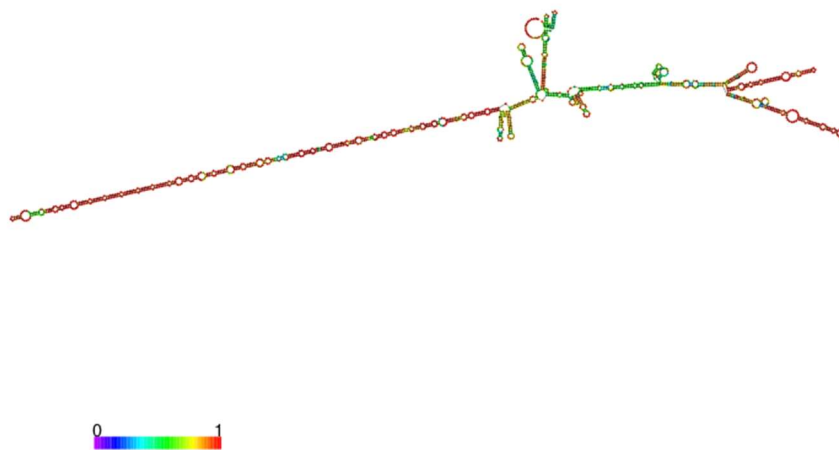
Contig *NODE_31272_length_1053_cov_13.721429* encontrado en SRR6943202



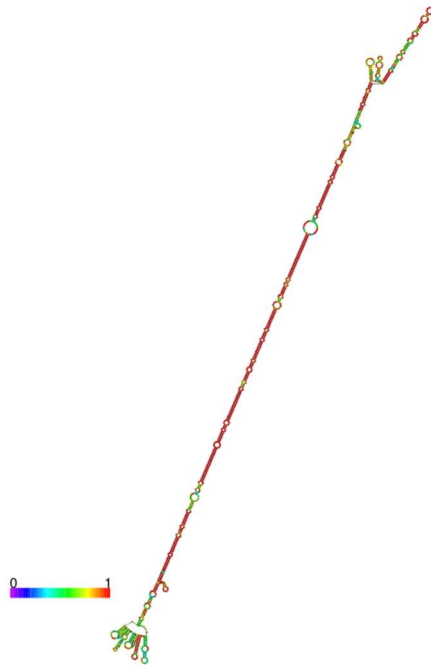
Contig NODE_32796_length_1033_cov_8.283333 encontrado en SRR6943202



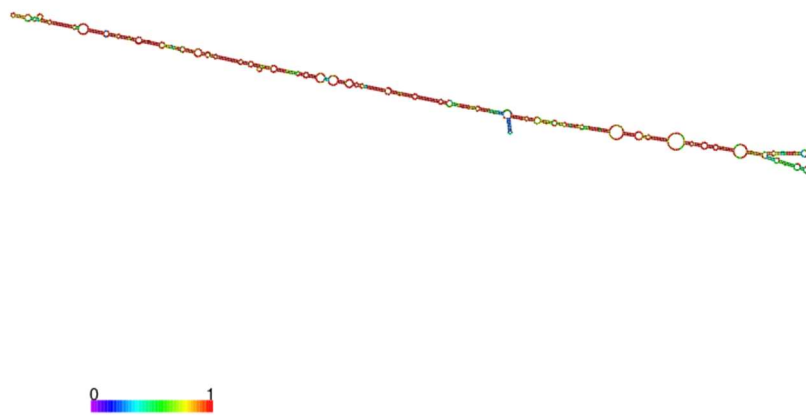
Contig NODE_9532_length_1702_cov_17.254758 encontrado en SRR6943202



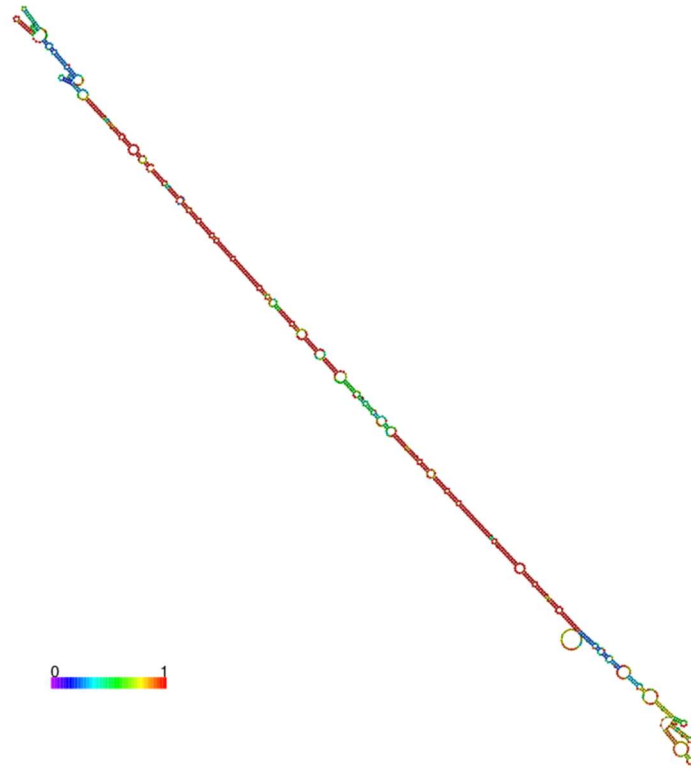
Contig NODE_5953_length_1375_cov_4.884793 encontrado en SRR6943136



Contig NODE_11069_length_1102_cov_19.470360 encontrado en SRR6943136



Contig NODE_11442_length_1089_cov_199.755906 encontrado en SRR6943136

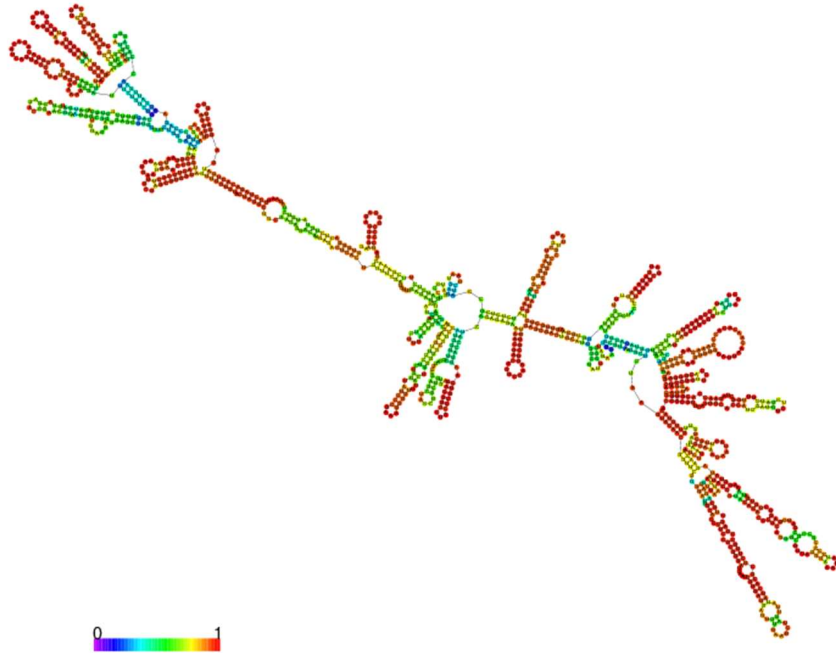


Contig NODE_11514_length_1087_cov_6.013807 encontrado en SRR6943136

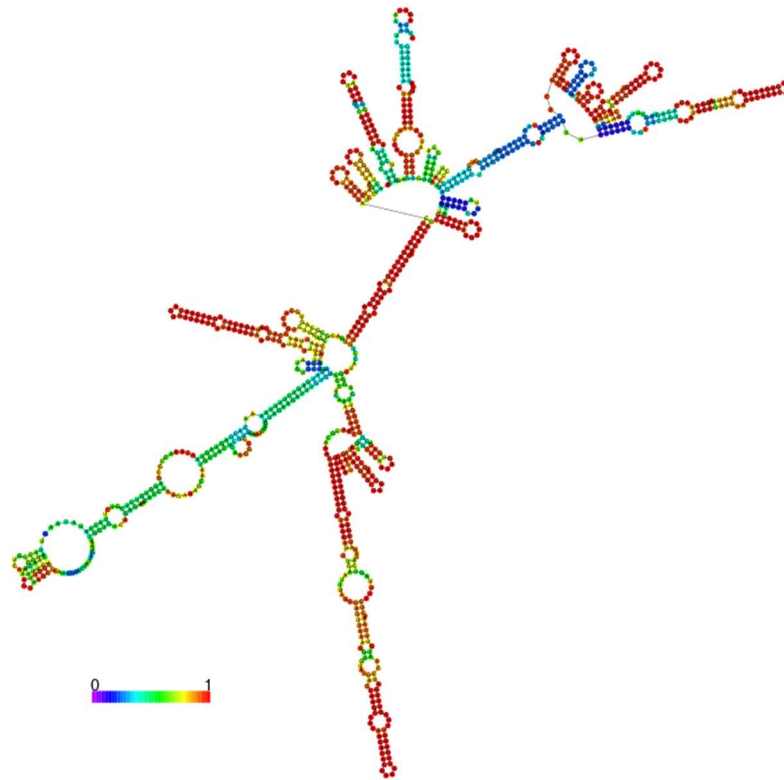


Contig NODE_12695_length_1052_cov_3.222676 encontrado en SRR6943136

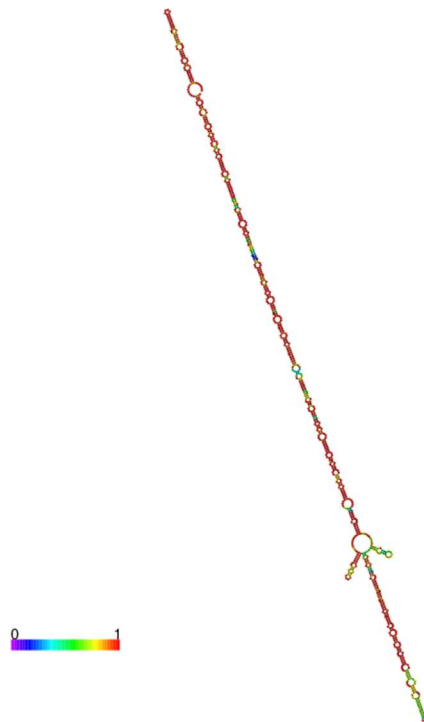
ANEXO II. Estructuras secundarias predichas por RNAfold de los contigs de virus Épsilon encontrados por Infernal



Contig NODE_22667_length_1203_cov_19.969912 encontrado en SRR6943202



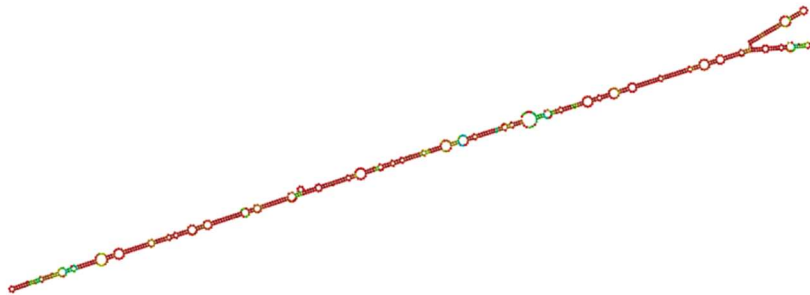
Contig NODE_10732_length_1074_cov_42.591409 encontrado SRR6943113



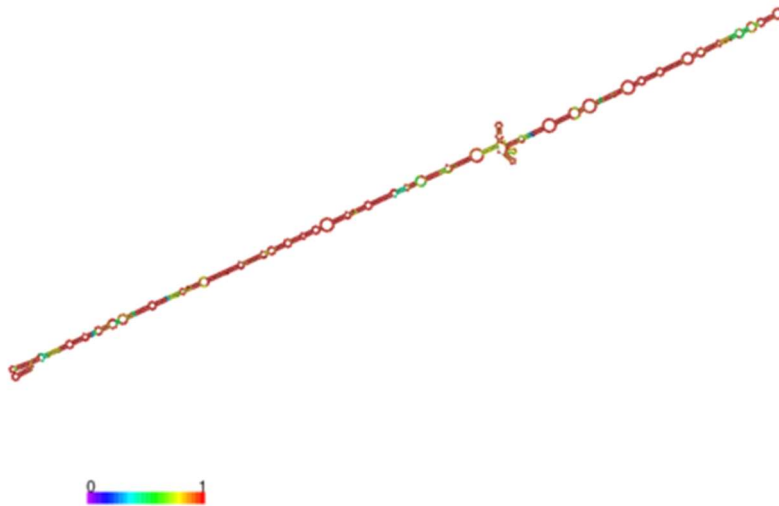
Contig NODE_17963_length_887_cov_7.835381 encontrado en SRR6943113



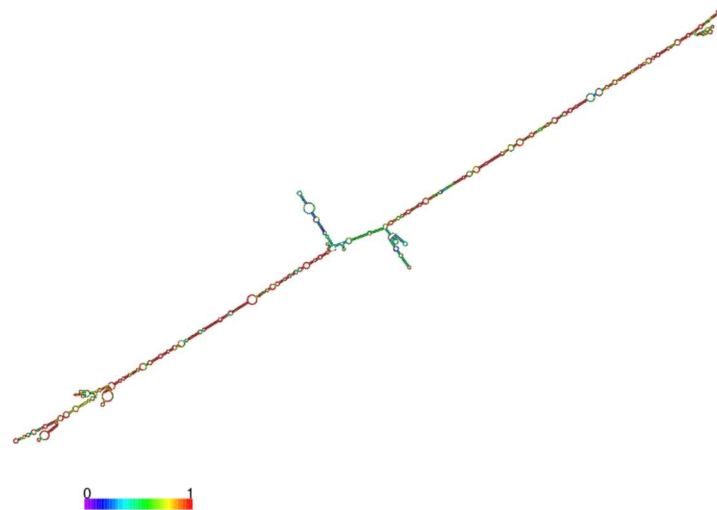
Contig *NODE_19406_length_861_cov_369.75126 encontrado en SRR6943113*



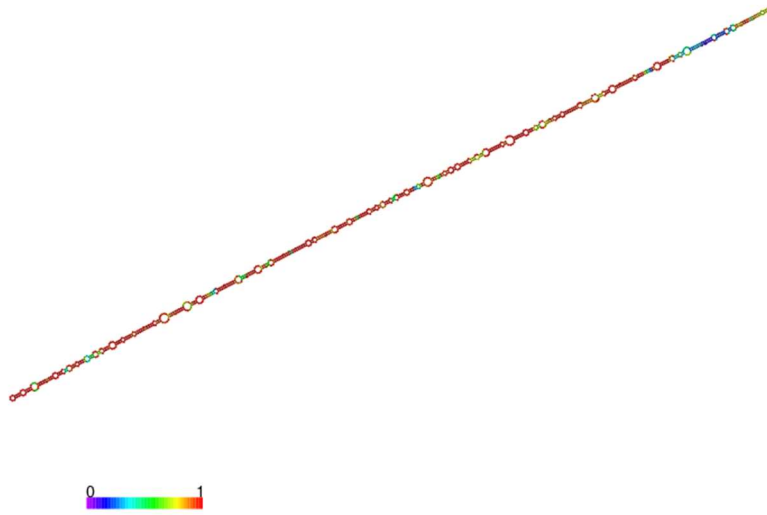
Contig *NODE_19819_length_855_cov_4.262148 encontrado en SRR6943113*



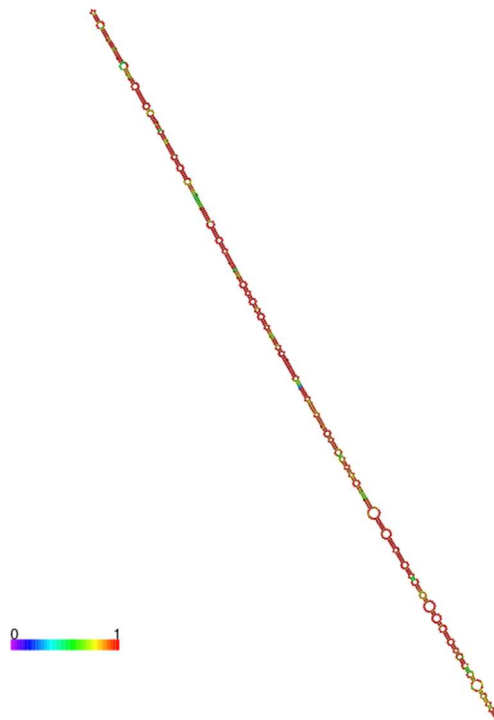
Contig NODE_22304_length_818_cov_3.903356 encontrado en SRR6943113



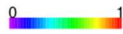
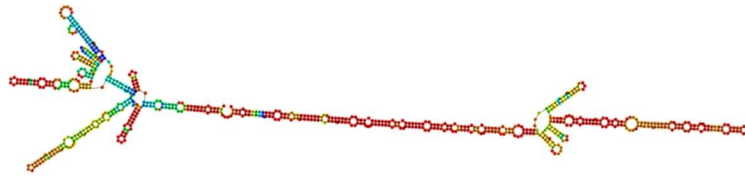
Contig NODE_2384_length_1801_cov_13.152199 encontrado en SRR6973926



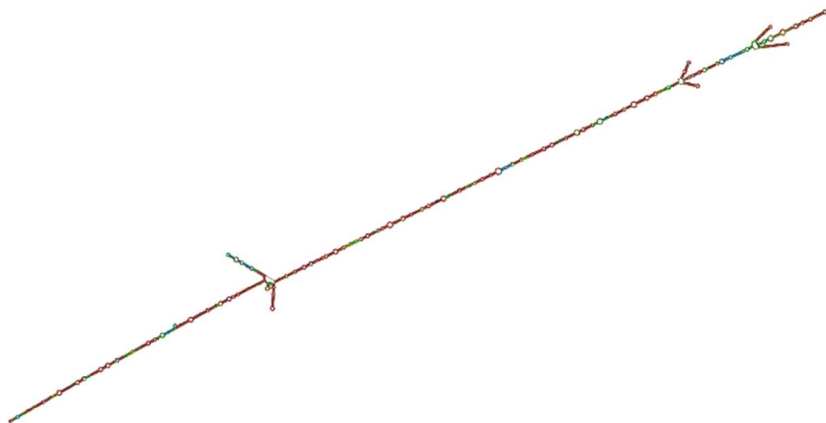
Contig NODE_14755_length_939_cov_2.953811 encontrado en SRR6973926



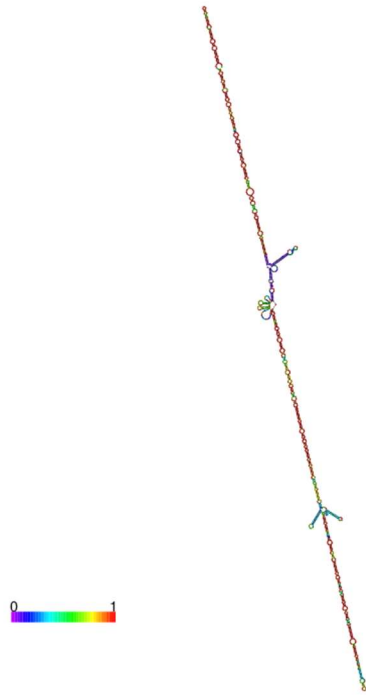
Contig NODE_19461_length_848_cov_3.348387 encontrado en SRR6973926



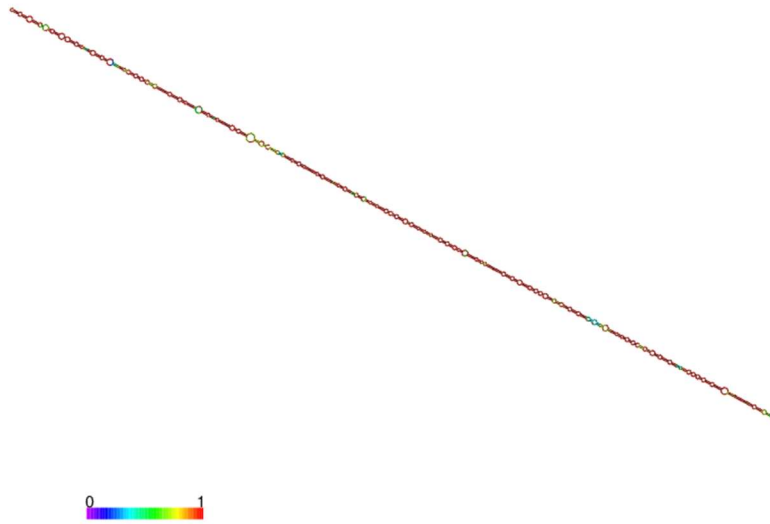
Contig *NODE_20553_length_830_cov_4.393659* encontrado en *SRR6973926*



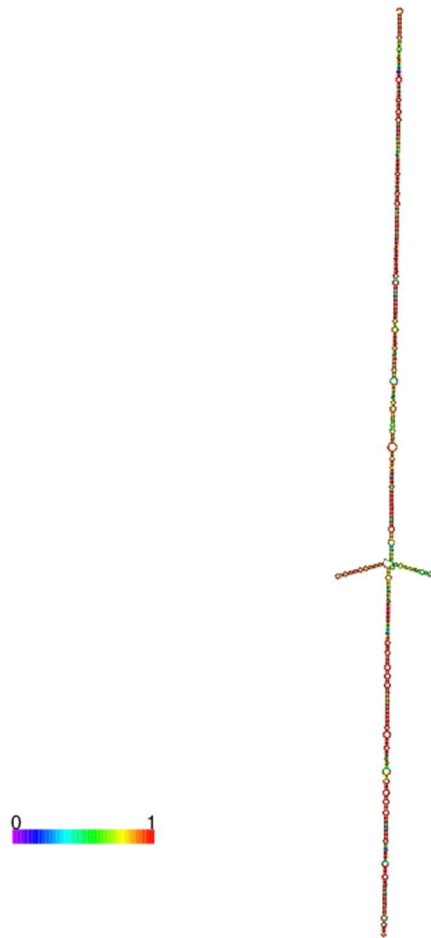
Contig *NODE_2689_length_1827_cov_8.539339* encontrado en *SRR6943136*



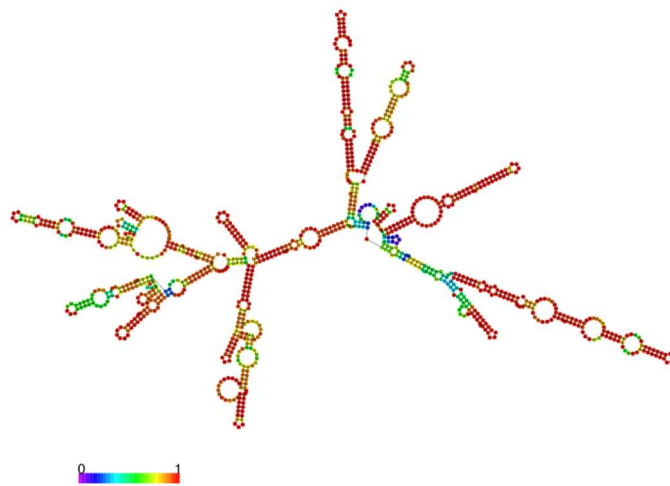
Contig NODE_5526_length_1414_cov_64.239374 encontrado en SRR6943136



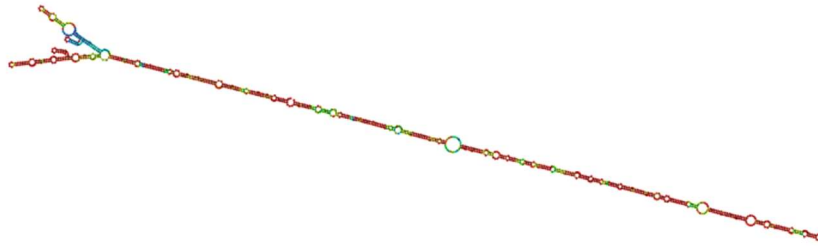
Contig NODE_6183_length_1358_cov_4.272374 encontrado en SRR6943136



Contig NODE_9094_length_1184_cov_15.320432 encontrado en SRR6943136



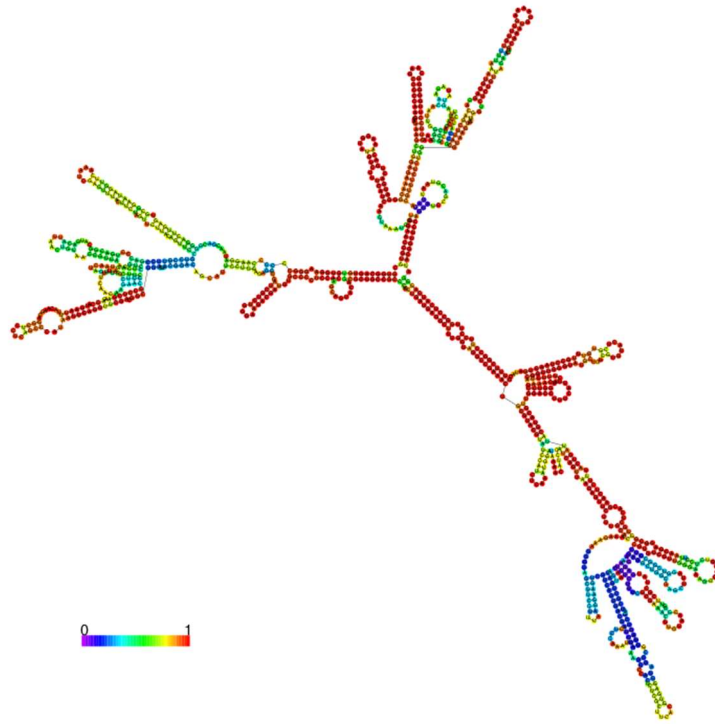
Contig NODE_11896_length_1074_cov_89.564436 encontrado en SRR6943136



Contig NODE_12112_length_1068_cov_9.292462 encontrado en SRR6943136



Contig NODE_12119_length_1068_cov_6.289447 encontrado en SRR6943136



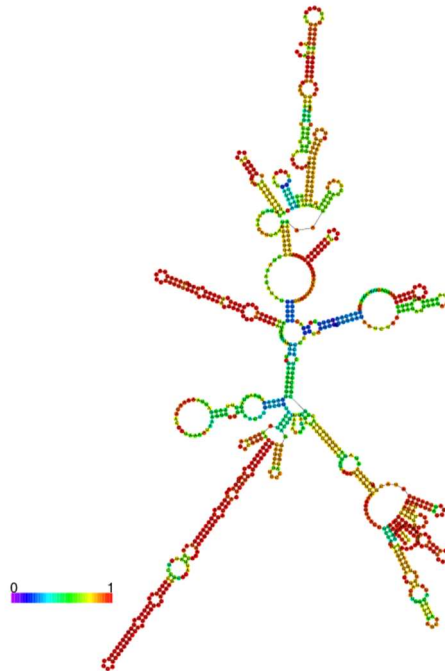
Contig NODE_12393_length_1060_cov_3.627153 encontrado en SRR6943136



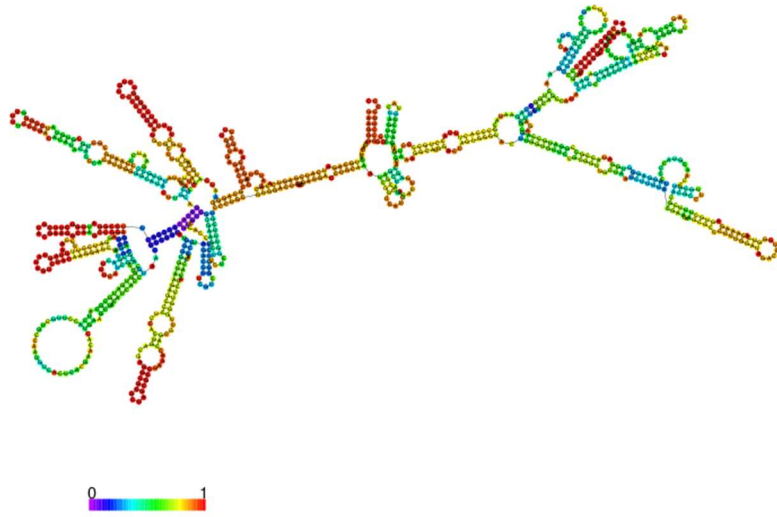
Contig NODE_13708_length_1022_cov_16.571128 encontrado en SRR6943136



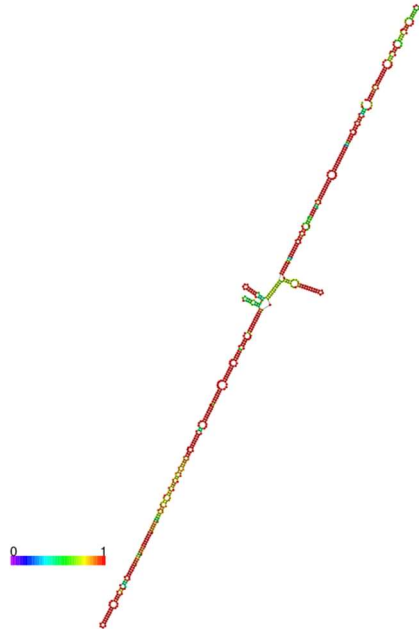
Contig NODE_11411_length_1090_cov_14.008850 encontrado en SRR6943136



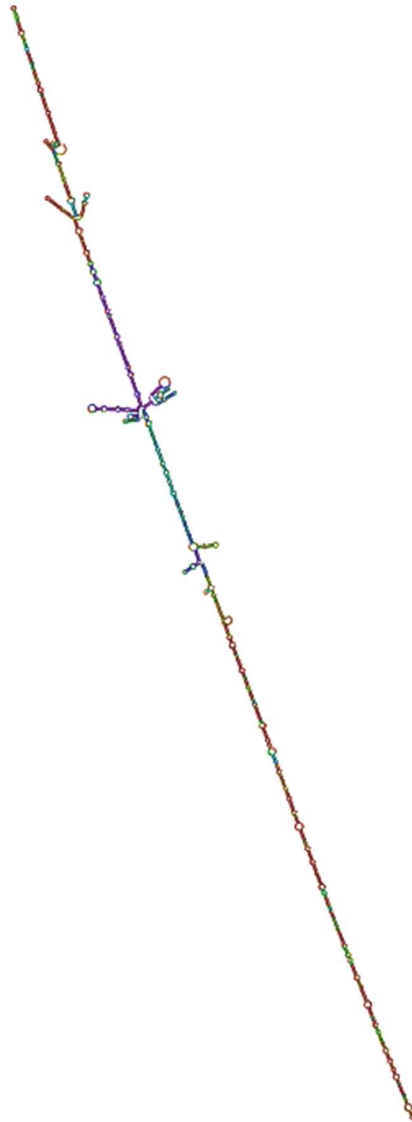
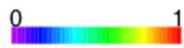
Contig NODE_14088_length_1012_cov_7.358892 encontrado en SRR6943136



Contig. NODE_14349_length_1006_cov_67.151125 encontrado en SRR6943136

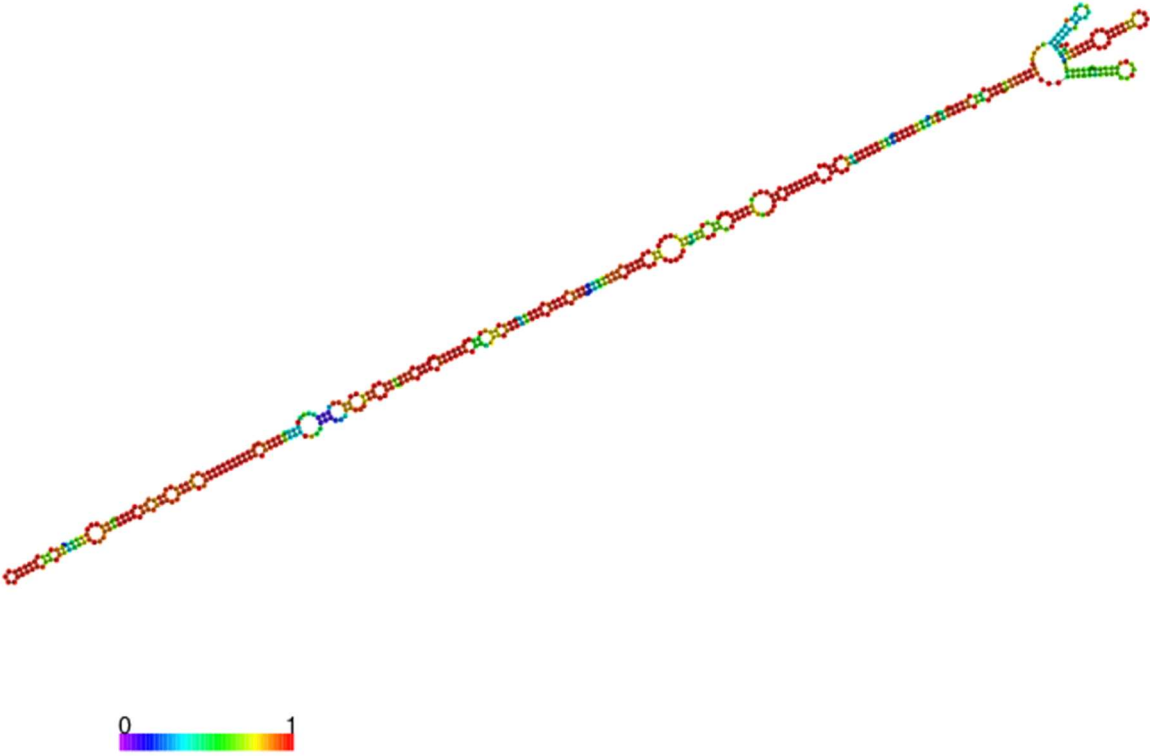


Contig NODE_29706_length_767_cov_353.659942 encontrado en SRR6943136

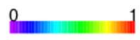
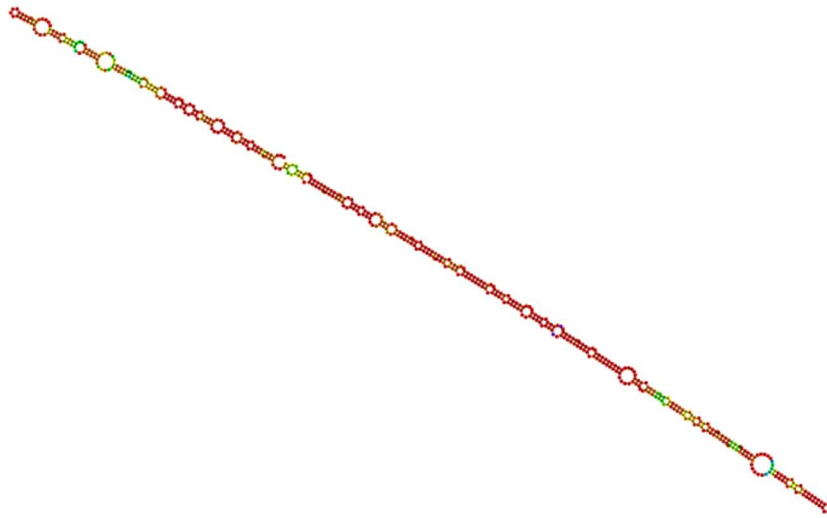


Contig NODE_4922_length_2699_cov_14.473343_1842_nt encontrado en SRR13675528

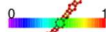
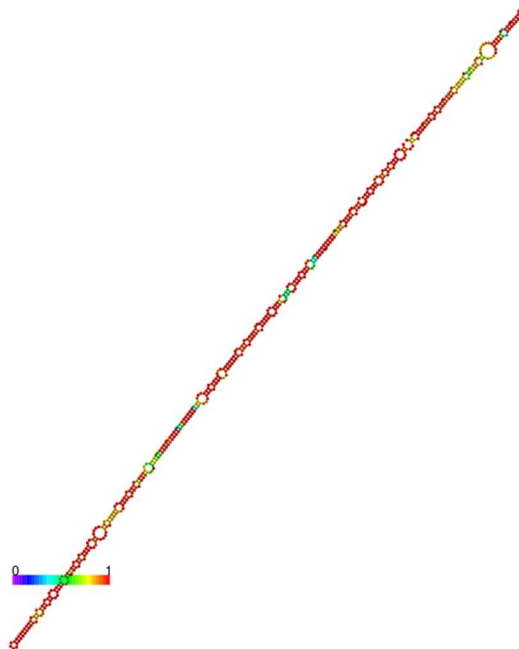
ANEXO III. Estructuras secundarias predichas por RNAfold de los contigs de virus Zeta encontrados por Infernal



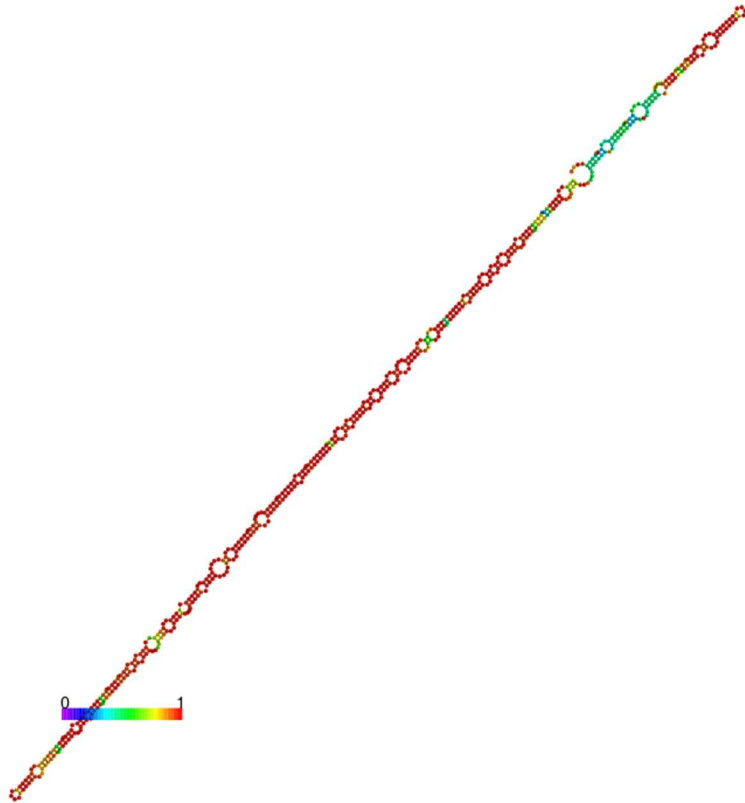
Contig NODE_102143_length_637_cov_2.443262 encontrado en SRR6943202



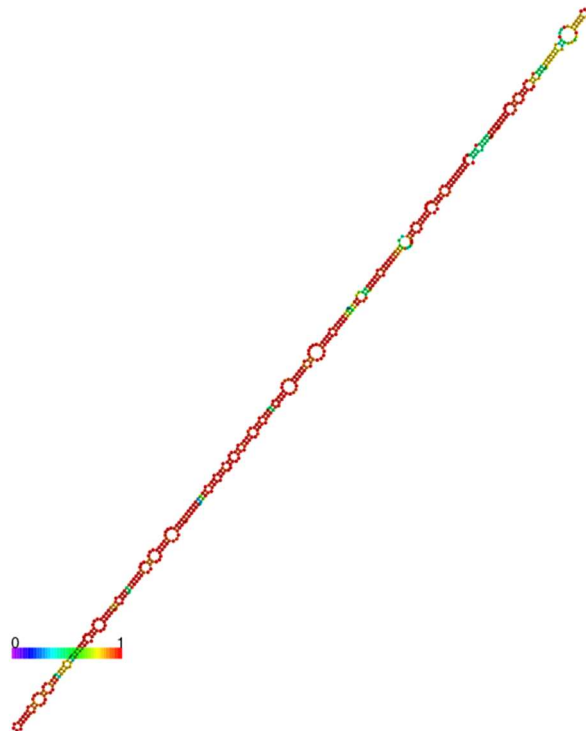
Contig NODE_104248_length_631_cov_20.985663 encontrado en SRR6943202



Contig NODE_104289_length_631_cov_4.933692 encontrado en SRR6943202



Contig NODE_105466_length_628_cov_4.679279 encontrado en SRR6943202



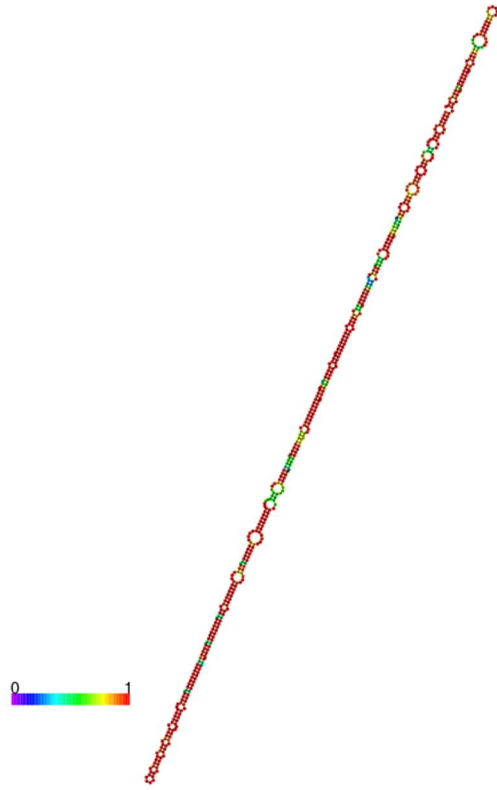
Contig NODE_106584_length_625_cov_28.670290 encontrado en SRR6943202



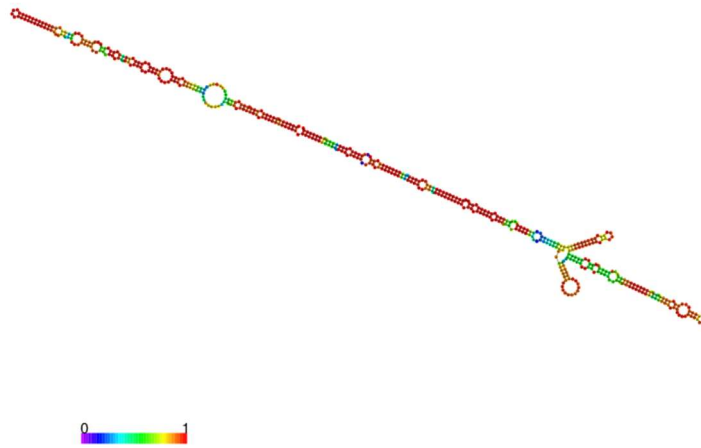
Contig NODE_110258_length_616_cov_6.598527 encontrado en SRR6943202



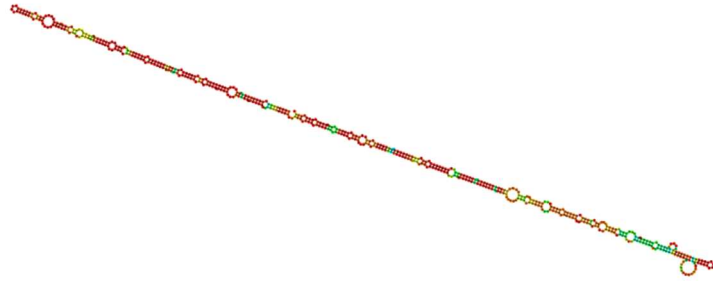
Contig NODE_112899_length_610_cov_4.029795 encontrado en SRR6943202



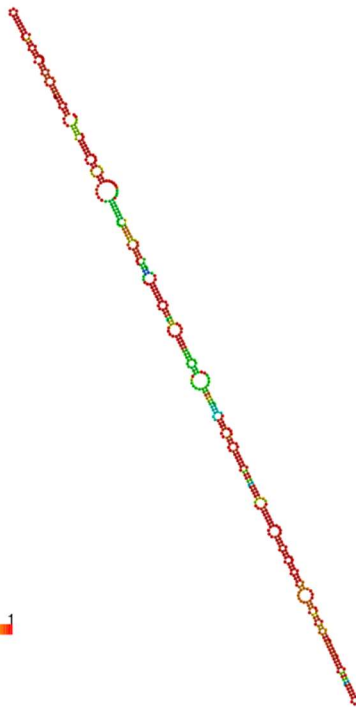
Contig NODE_113263_length_609_cov_6.585821 encontrado en SRR6943202



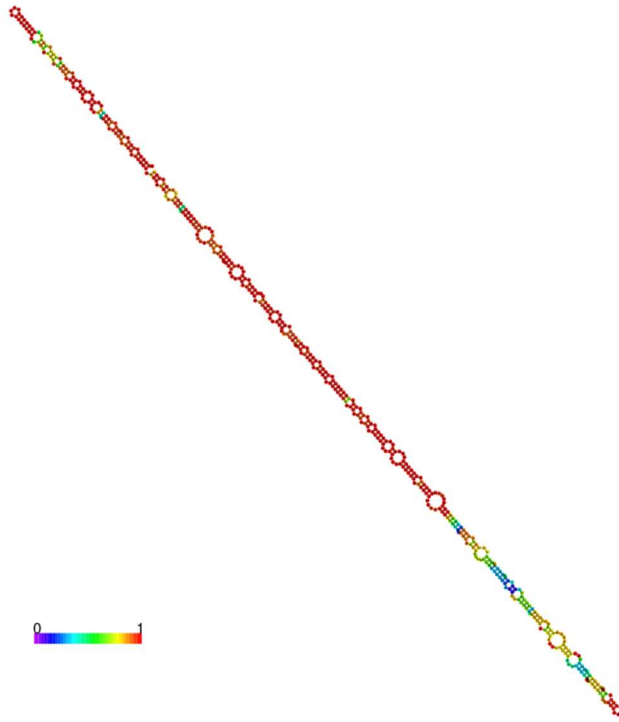
Contig NODE_116781_length_601_cov_9.829545 encontrado en SRR6943202



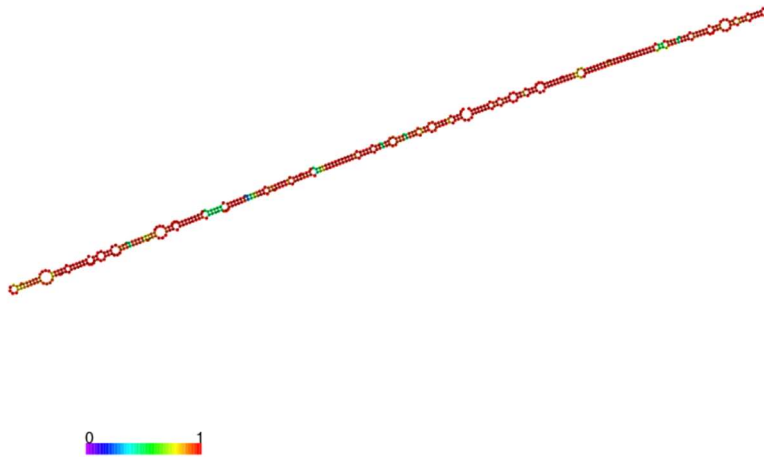
Contig NODE_120123_length_594_cov_3.842610 encontrado en SRR6943202



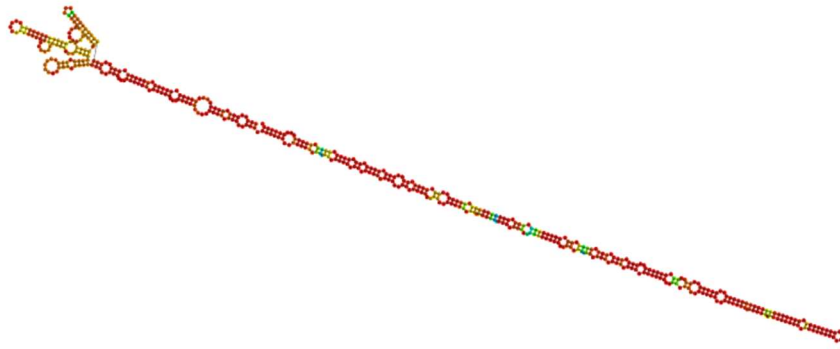
Contig NODE_120981_length_592_cov_17.516378 encontrado en SRR6943202



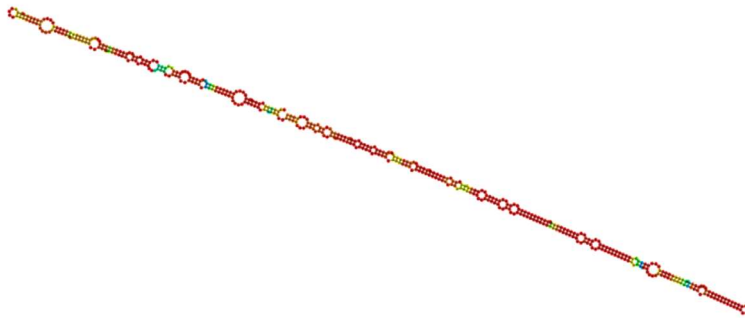
Contig NODE_121038_length_592_cov_5.169557 encontrado en SRR6943202



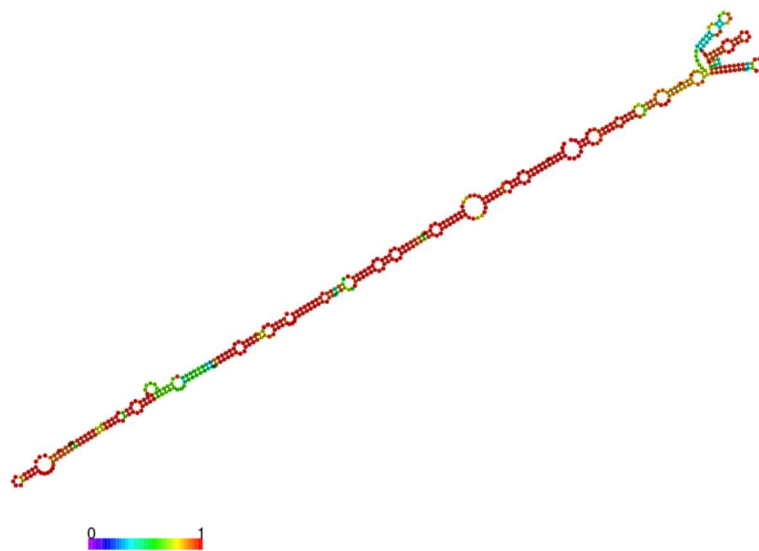
Contig NODE_121464_length_591_cov_447.318533 encontrado en SRR6943202



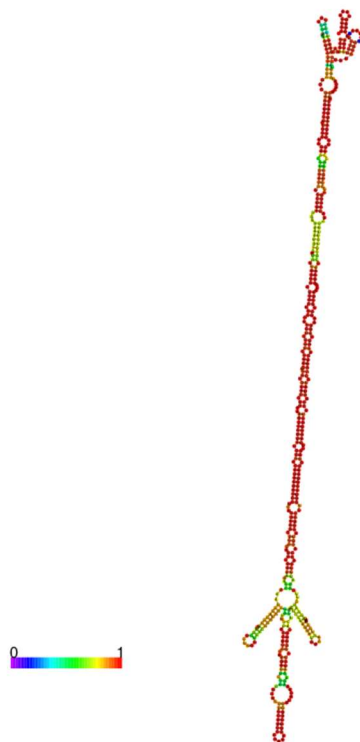
Contig NODE_123910_length_586_cov_25.407407 encontrado en SRR6943202



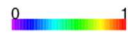
Contig NODE_131855_length_571_cov_36.146586 encontrado en SRR6943202



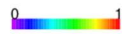
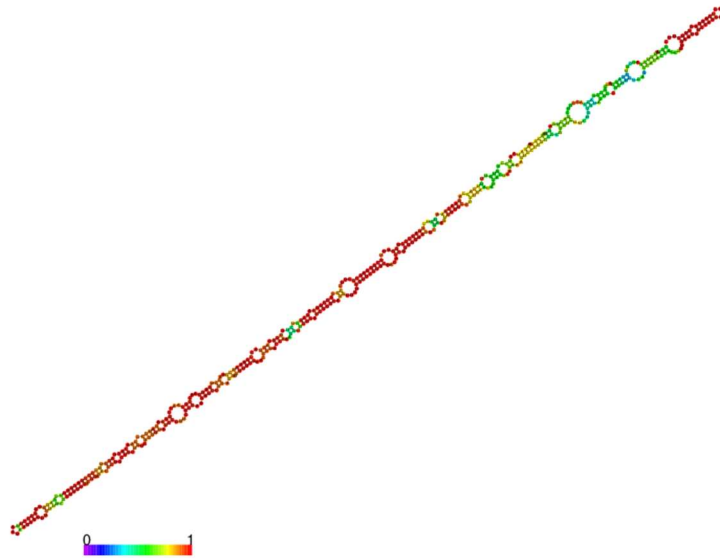
Contig NODE_133521_length_568_cov_61.167677 encontrado en SRR6943202



Contig NODE_133728_length_568_cov_2.612121 encontrado en SRR6943202



Contig *NODE_144063_length_550_cov_23.601677* encontrado en SRR6943202



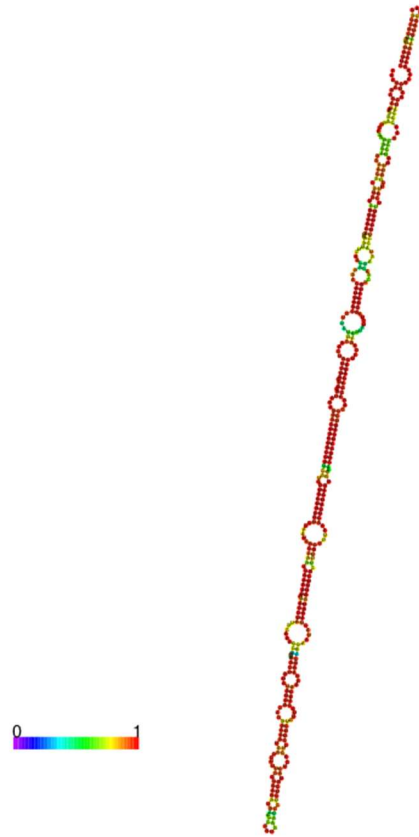
Contig *NODE_157751_length_529_cov_21.563596* encontrado en SRR6943202



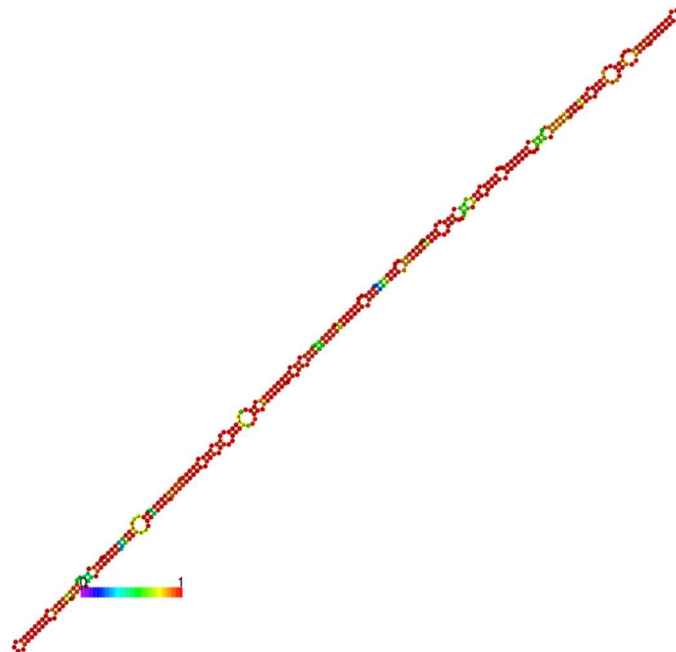
Contig NODE_157766_length_529_cov_10.728070 encontrado en SRR6943202



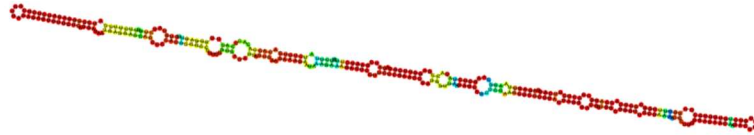
Contig NODE_157924_length_529_cov_3.087719 encontrado en SRR6943202



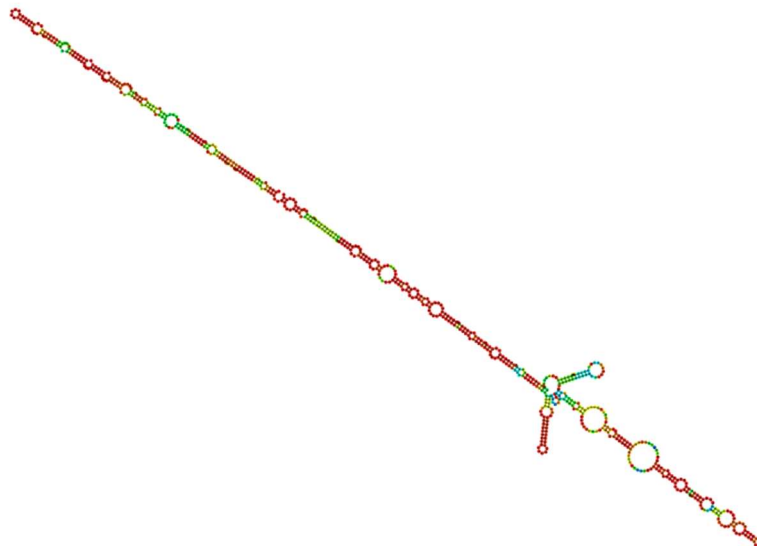
Contig NODE_196087_length_482_cov_90.403423 encontrado en SRR6943202



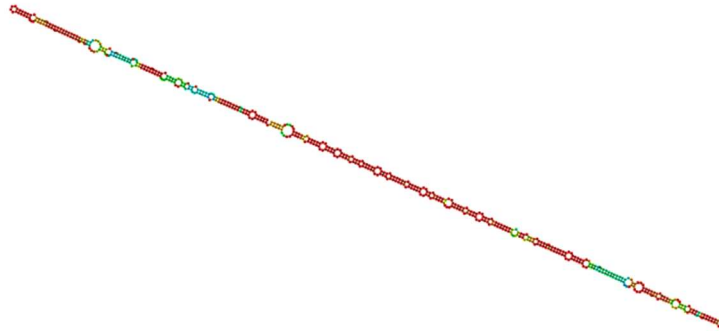
Contig NODE_198943_length_479_cov_58.192118 encontrado en SRR6943202



Contig NODE_301491_length_403_cov_12.151515 encontrado en SRR6943202



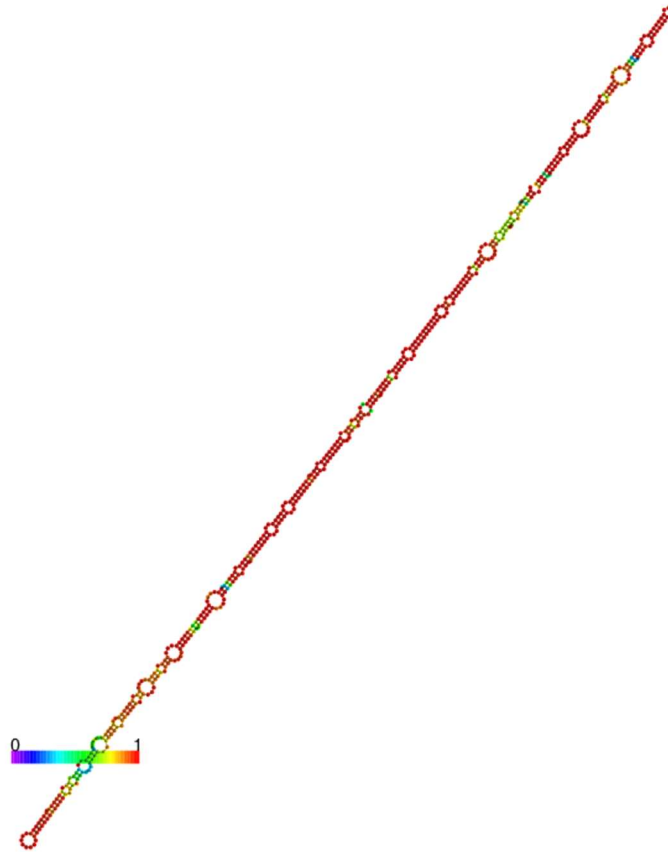
Contig NODE_42734_length_763_cov_3.975362 encontrado en SRR6973851



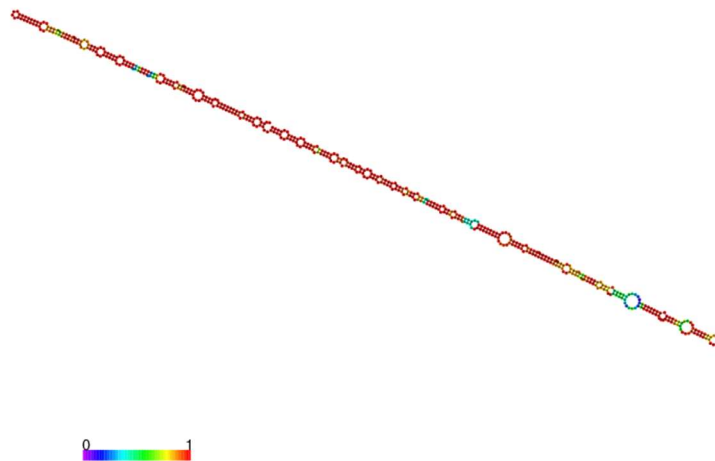
Contig NODE_63026_length_655_cov_6.341924 encontrado en SRR6973851



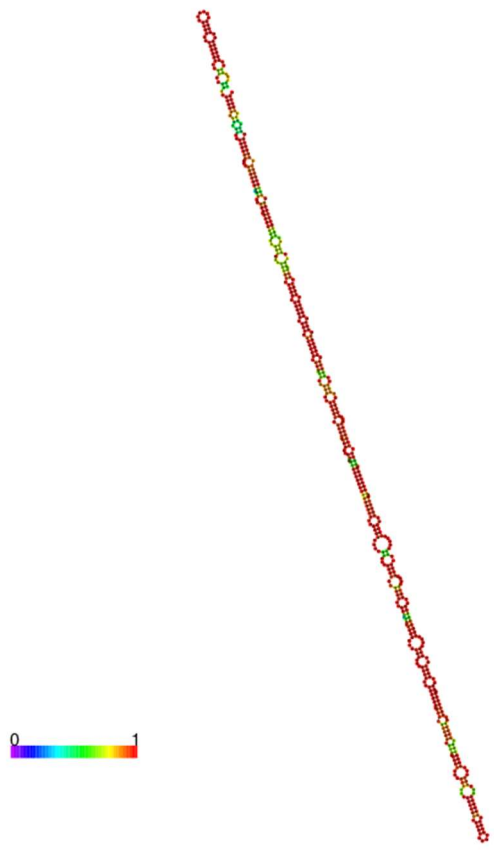
Contig NODE_71464_length_623_cov_82.887273 encontrado en SRR6973851



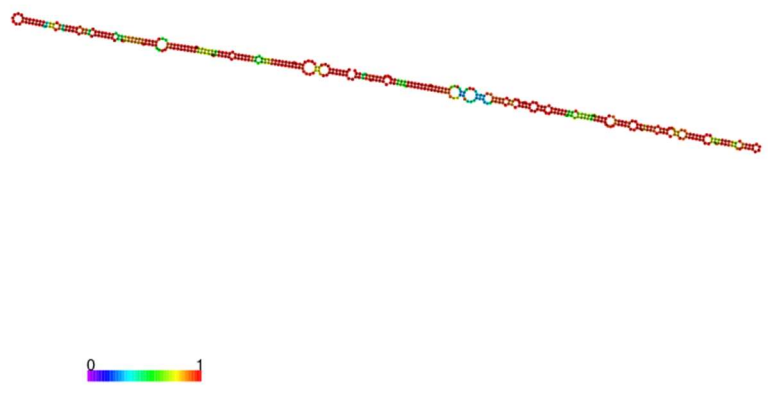
Contig NODE_73555_length_616_cov_10.287293 encontrado en SRR6973851



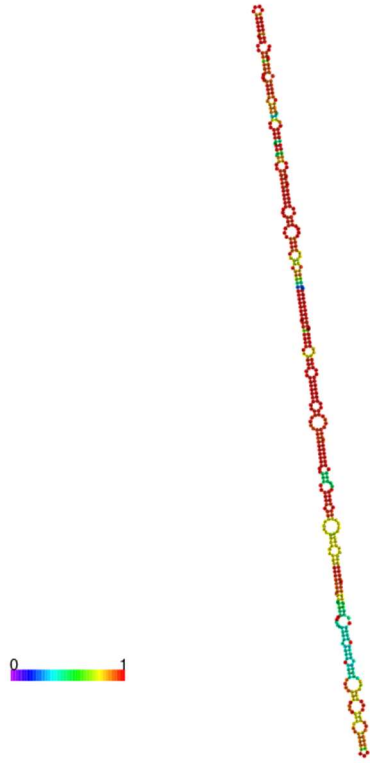
Contig. NODE_79273_length_598_cov_4.539048 encontrado en SRR6973851



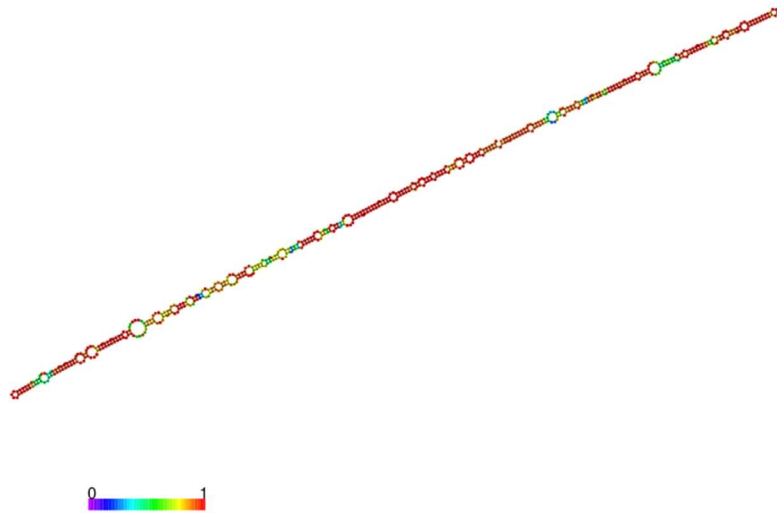
Contig *NODE_86913_length_577_cov_8.492063* encontrado en *SRR6973851*



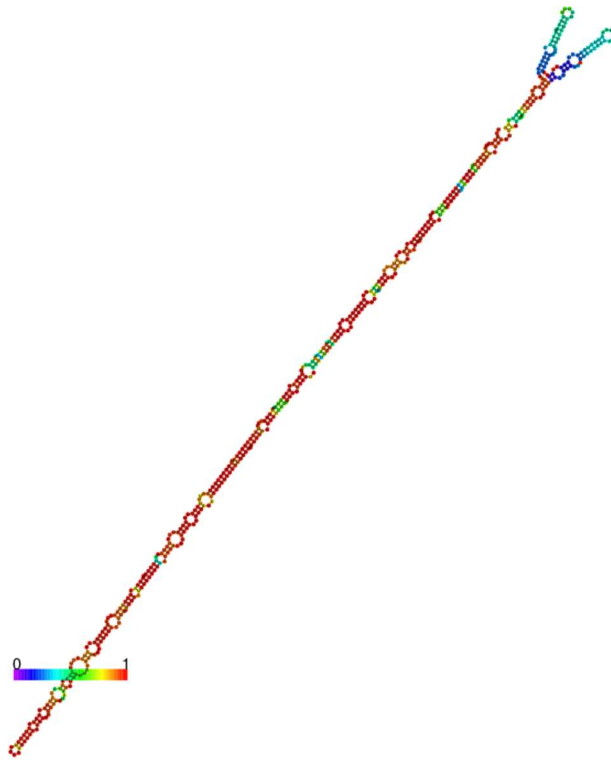
Contig *NODE_90441_length_568_cov_9.684848* encontrado en *SRR6973851*



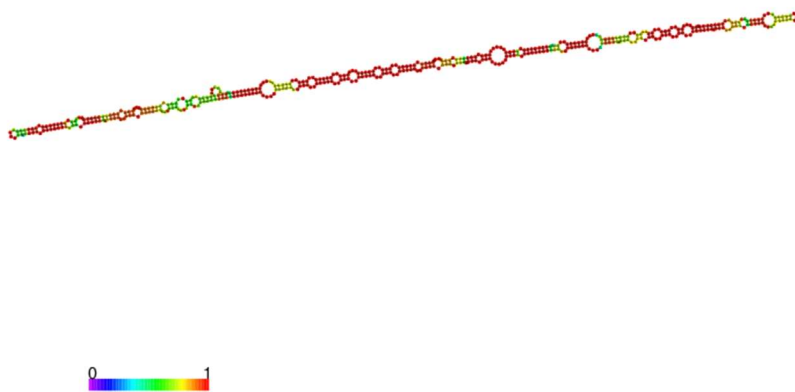
Contig NODE_124506_length_502_cov_2.344988 encontrado en SRR6973851



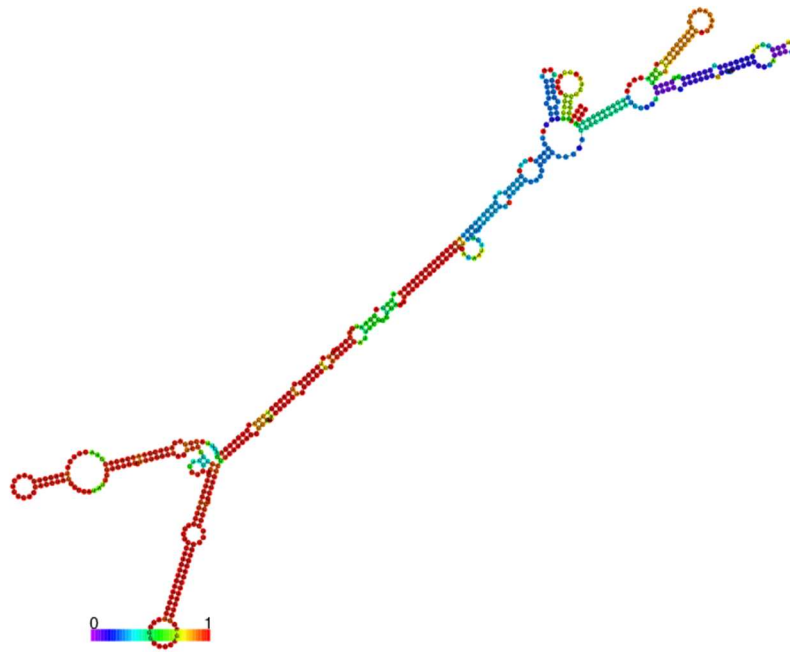
Contig NODE_65432_length_673_cov_9.173333 encontrado en SRR6962709



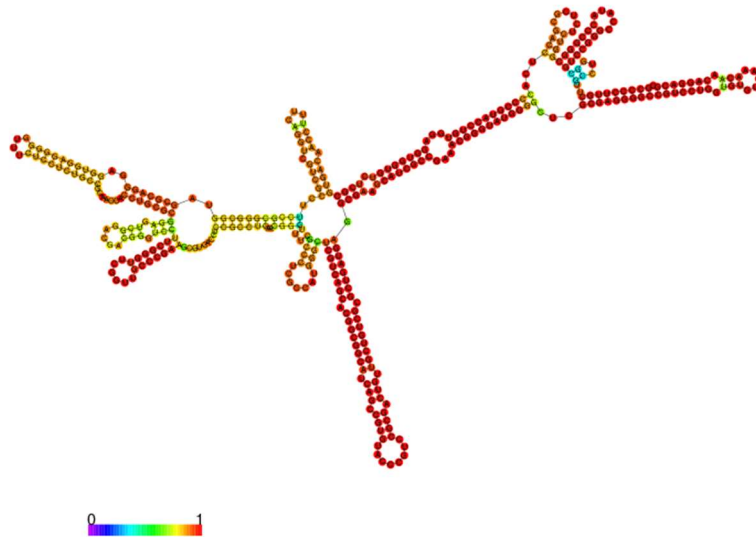
Contig NODE_67120_length_664_cov_1.774958 encontrado en SRR6962709



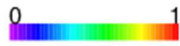
Contig NODE_96369_length_541_cov_2.215812 encontrado en SRR6962709



Contig NODE_27971_length_611_cov_19.237918 encontrado en SRR13675528

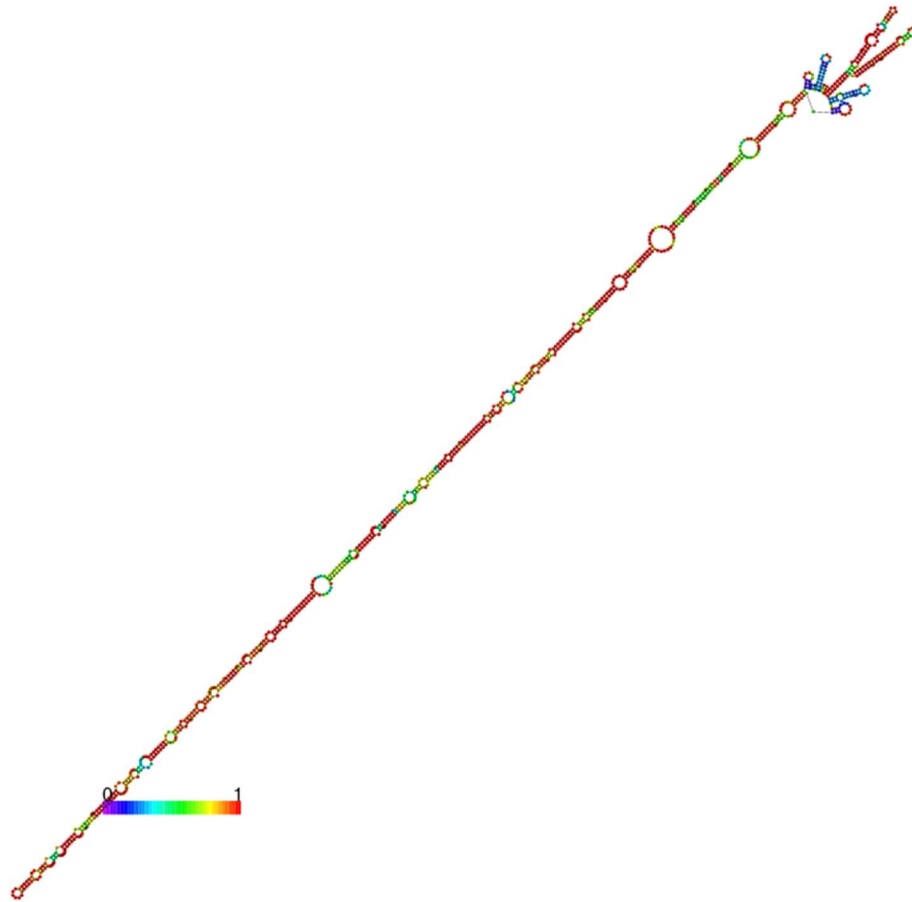


Contig NODE_41491_length_449_cov_279.364362 encontrado en SRR13675528

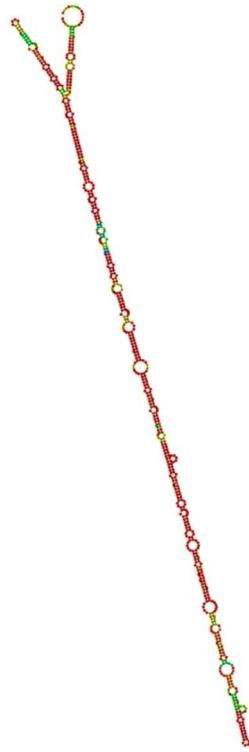


Contig NODE_15680_length_1022_cov_20.053741_662nt encontrado en SRR13675528

ANEXO IV. Estructuras secundarias predichas por RNAfold de los contigs pertenecientes a los nuevos elementos de RNA circular encontrados por Infernal



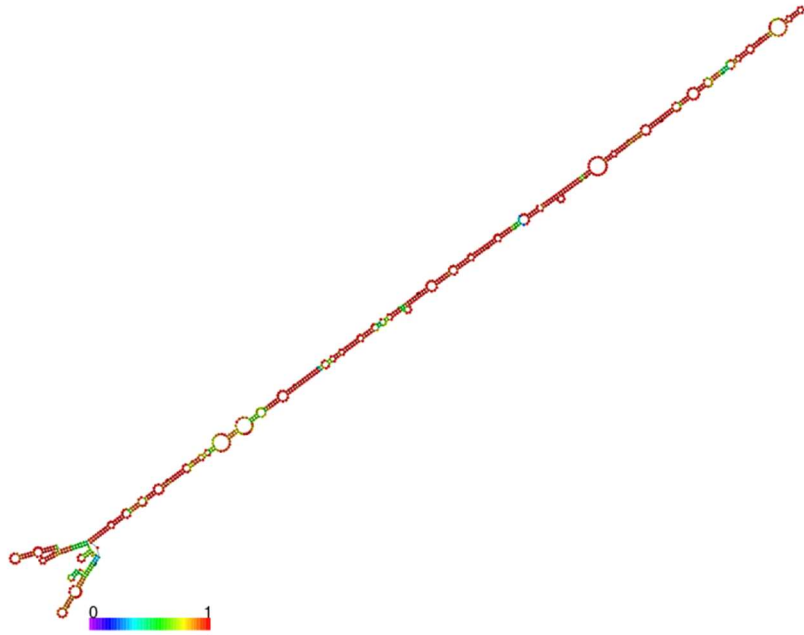
Contig NODE_13047_length_1040_cov_153.014478 encontrado en SRR6943136



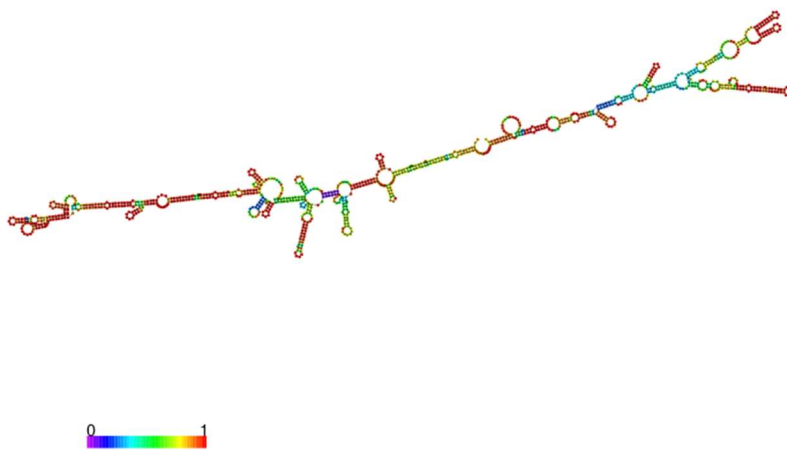
Contig NODE_31937_length_746_cov_25.497771 encontrado en SRR6943136



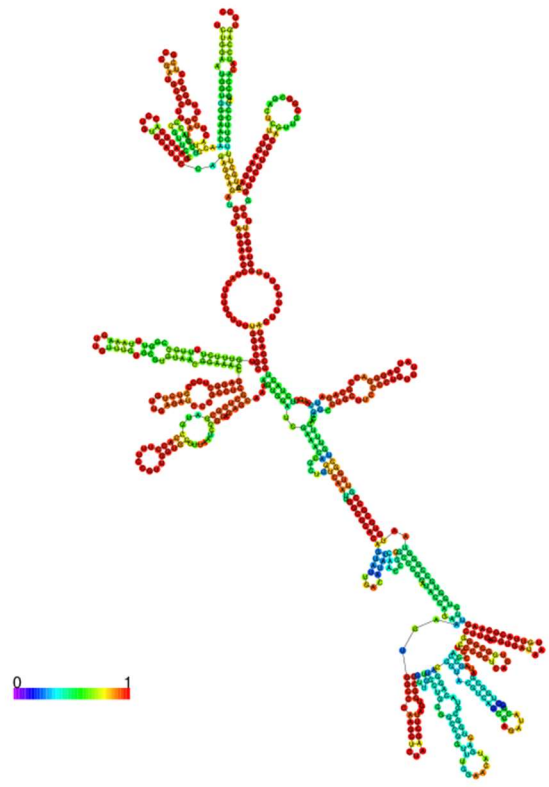
Contig NODE_10017_length_1082_cov_92.586720/1-1009 encontrado en SRR6973926



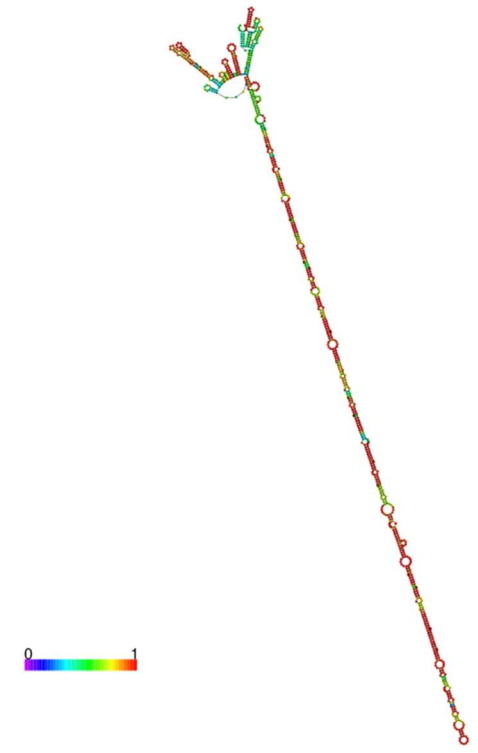
Contig NODE_15011_length_933_cov_268.070930/1-860 encontrado en SRR6973926



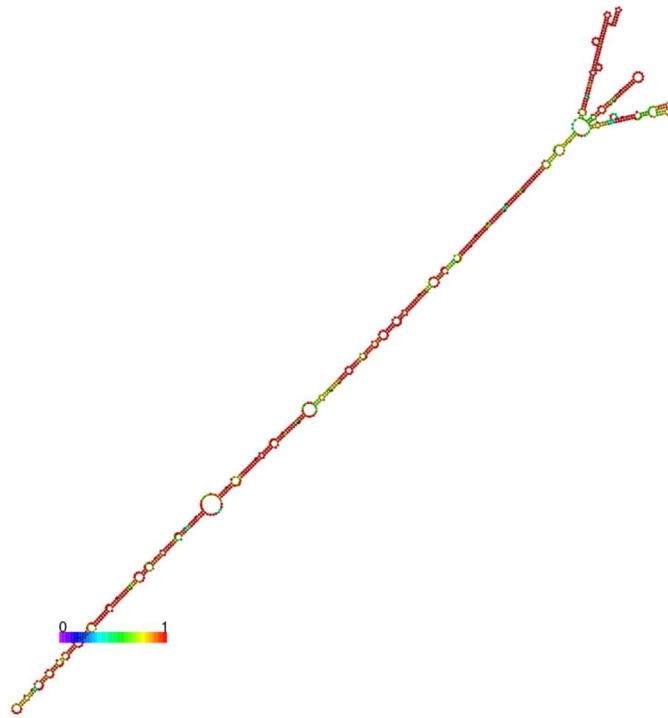
Contig NODE_17245_length_1075_cov_11.272455 encontrado en SRR6973851



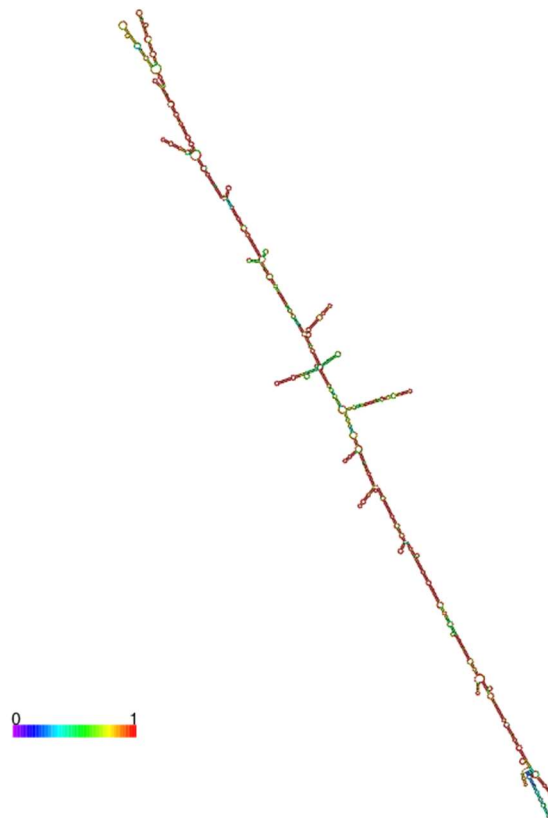
Contig NODE_32295_length_705_cov_5.419304 encontrado en SRR6943113



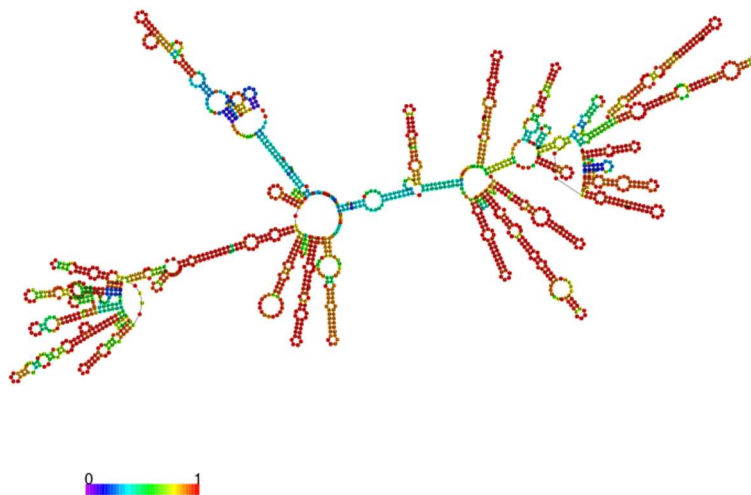
Contig NODE_12835_length_1047_cov_5.472279 encontrado en SRR6943136



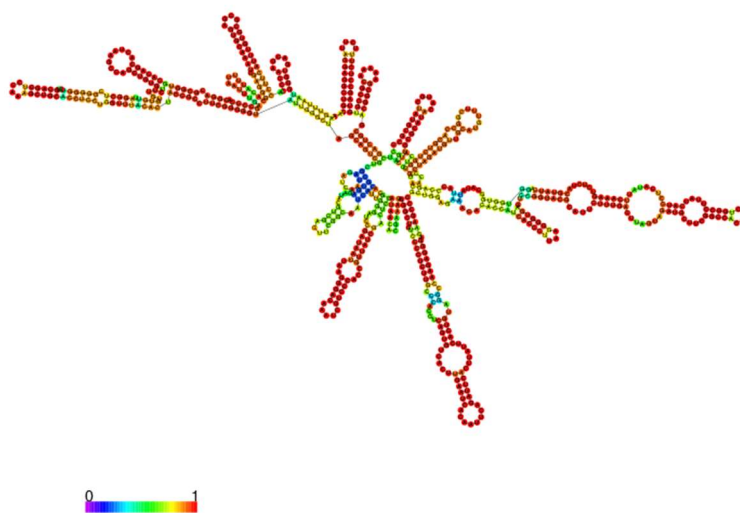
Contig NODE_12856_length_1046_cov_10.440904 encontrado en SRR6943136



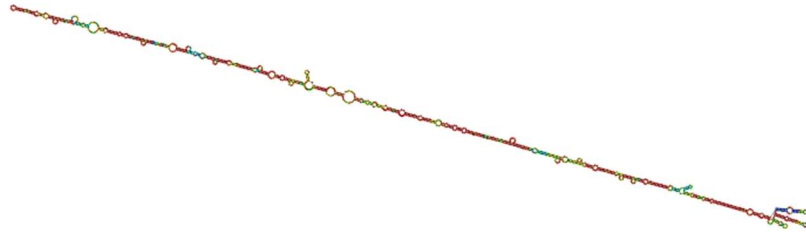
Contig NODE_2379_length_1902_cov_10.498633 encontrado en SRR6943136



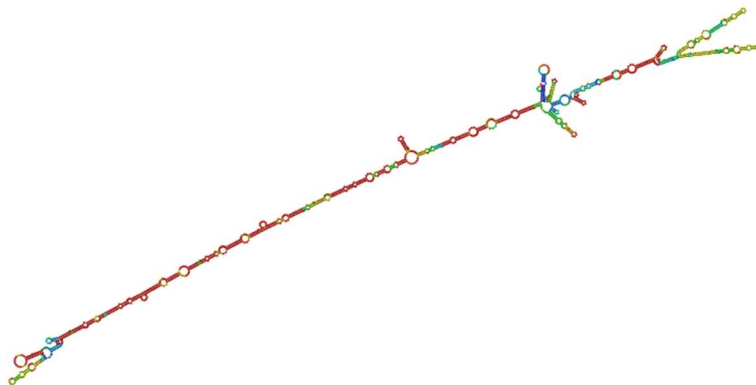
Contig NODE_3068_length_1742_cov_14.499700 encontrado en SRR6943136



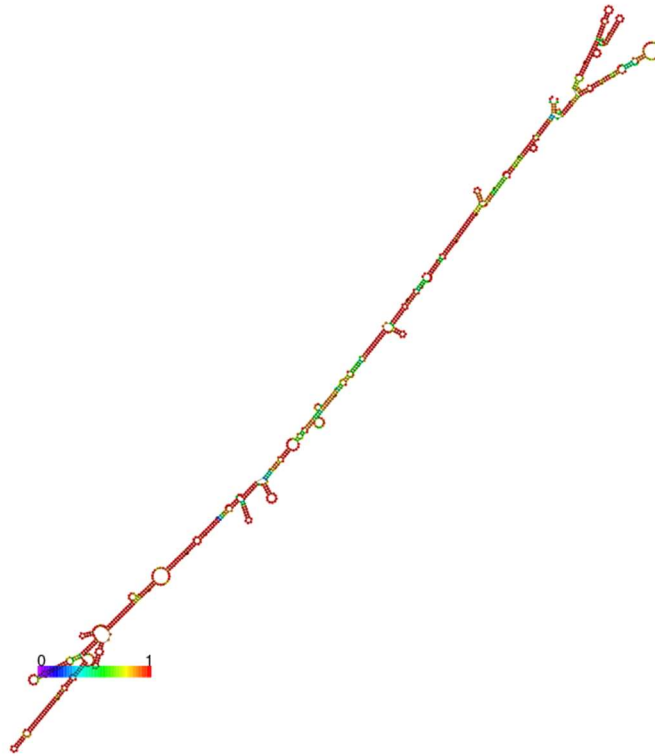
Contig NODE_36345_length_712_cov_5.823161 encontrado en SRR6943136



Contig *NODE_7299_length_1281_cov_22.654801* encontrado en SRR6943136



Contig *NODE_7530_length_1266_cov_10.682313* encontrado en SRR6943136



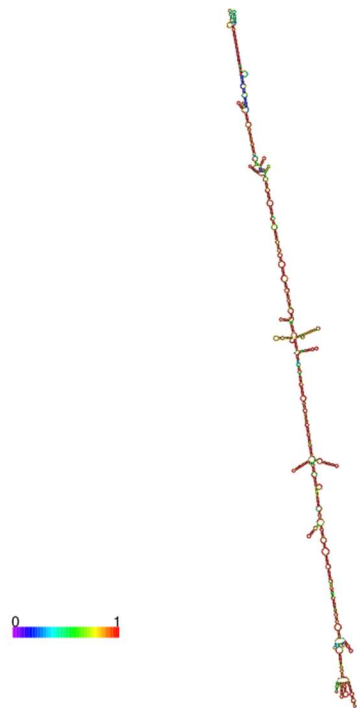
Contig NODE_9903_length_1146_cov_7.915191 encontrado en SRR6943136



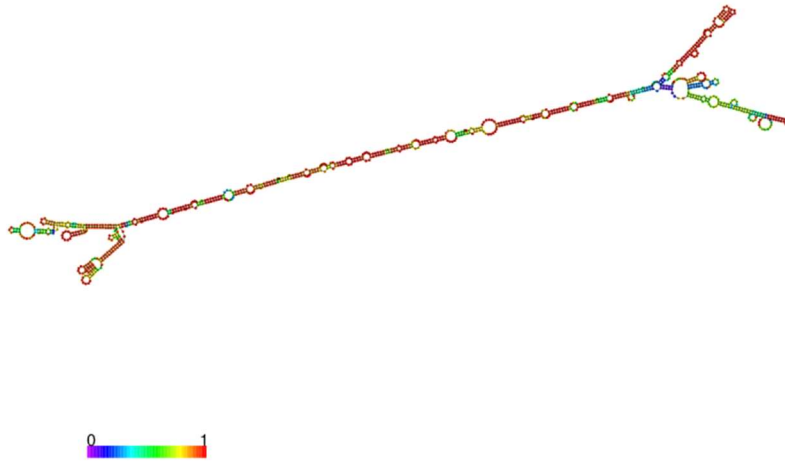
Contig NODE_10790_length_1619_cov_38.086028 encontrado en SRR6943202



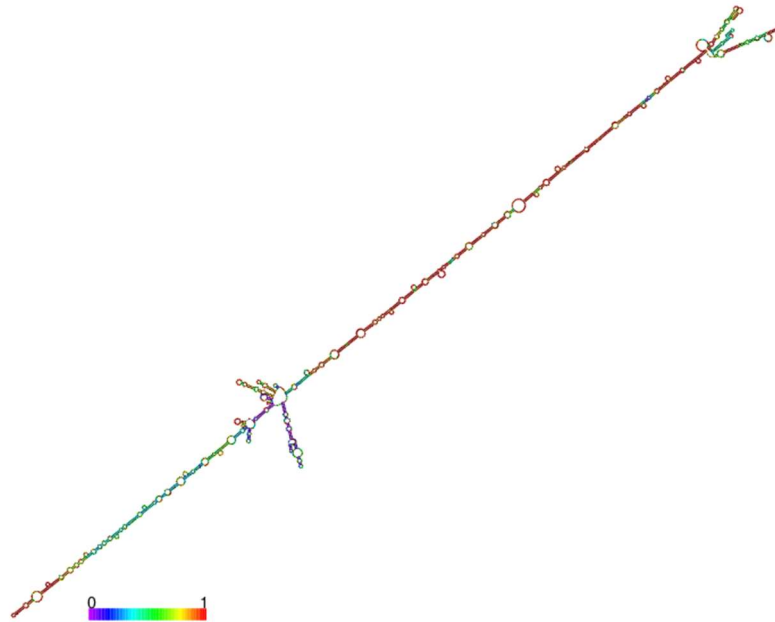
Contig NODE_1293_length_3712_cov_12.067876 encontrado en SRR6943202



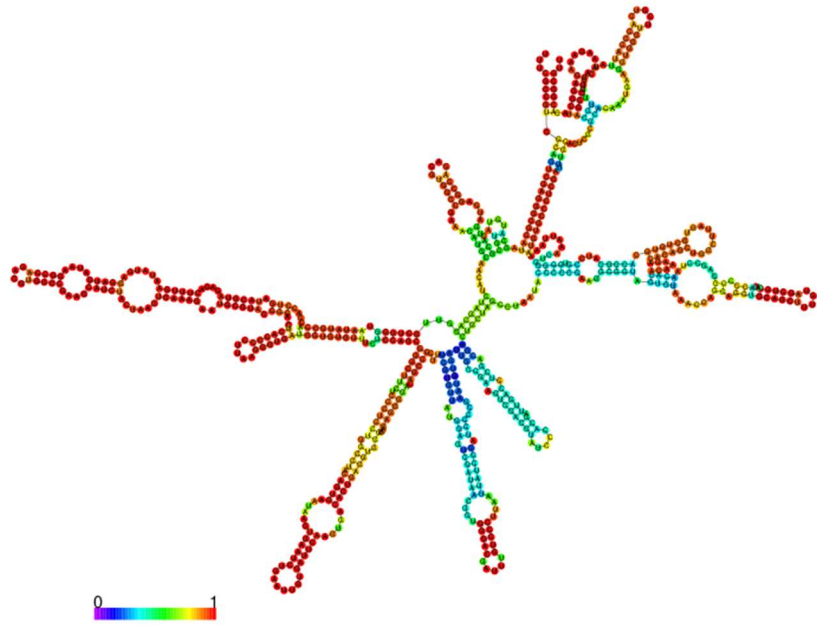
Contig NODE_2829_length_2753_cov_16.180970 encontrado en SRR6943202



Contig NODE_31807_length_1046_cov_7.433710 encontrado en SRR6943202



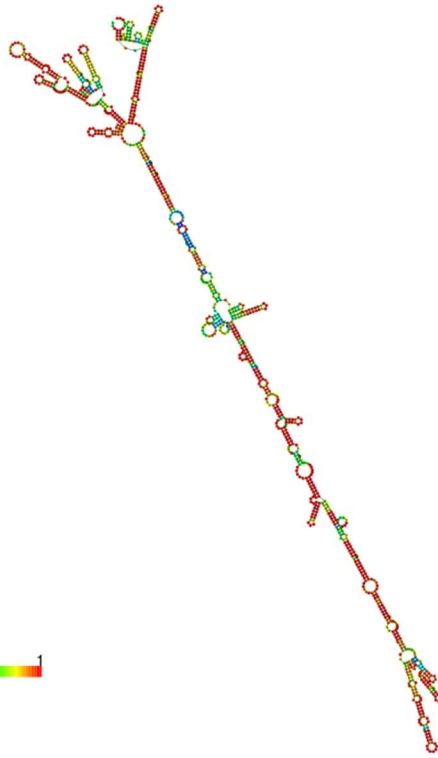
Contig NODE_4605_length_2280_cov_11.587676 encontrado en SRR6943202



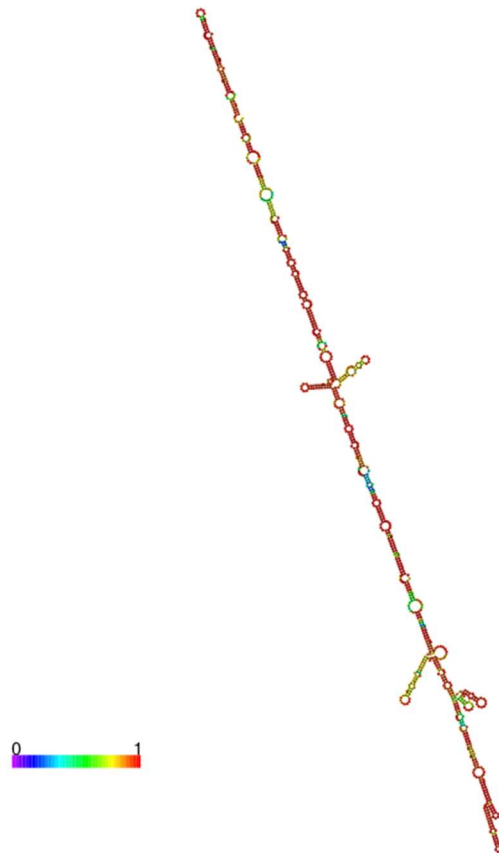
Contig NODE_78447_length_713_cov_13.689063 encontrado en SRR6943202



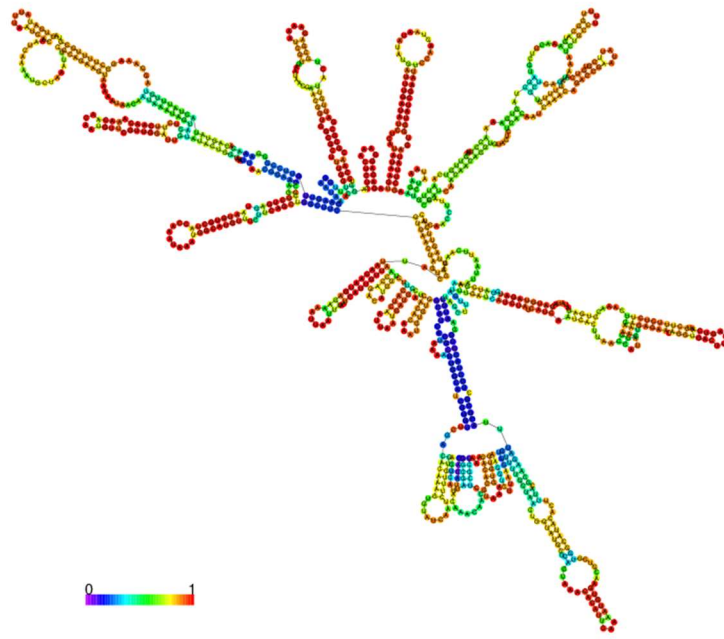
Contig NODE_81354_length_702_cov_4.774245 encontrado en SRR6943202



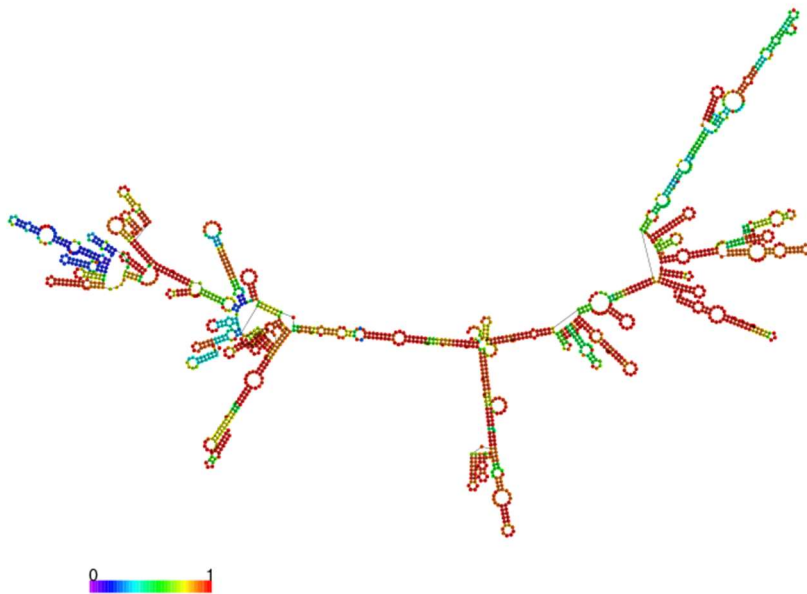
Contig NODE_9244_length_1114_cov_7.308357/1-1041 encontrado en SRR6973926



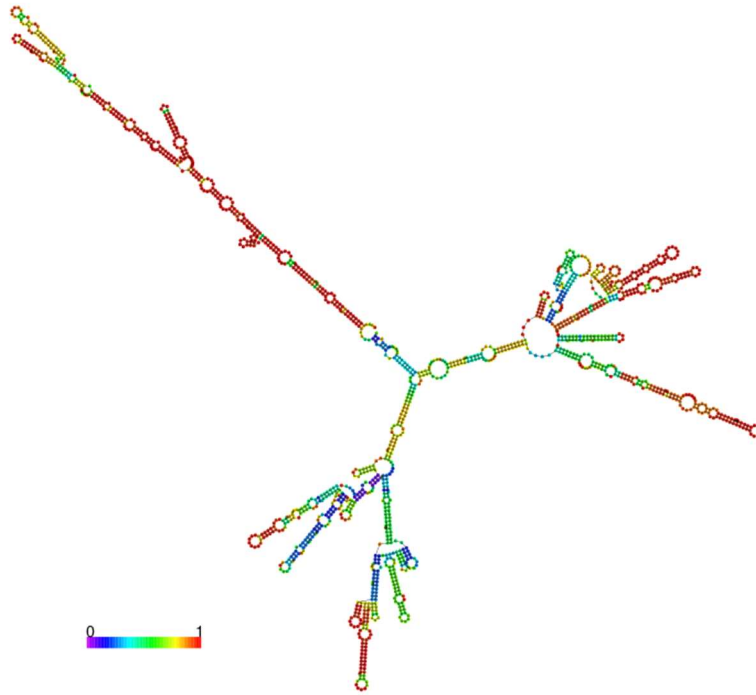
Contig NODE_14643_length_999_cov_6.421166 encontrado en SRR6943136



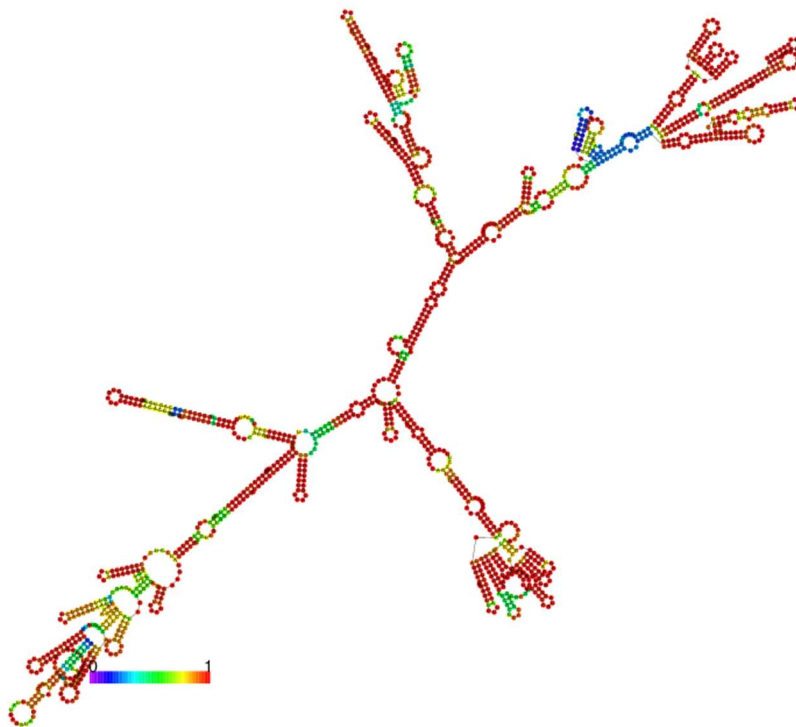
Contig NODE_12279_length_1022_cov_156.232877 encontrado en SRR6943113



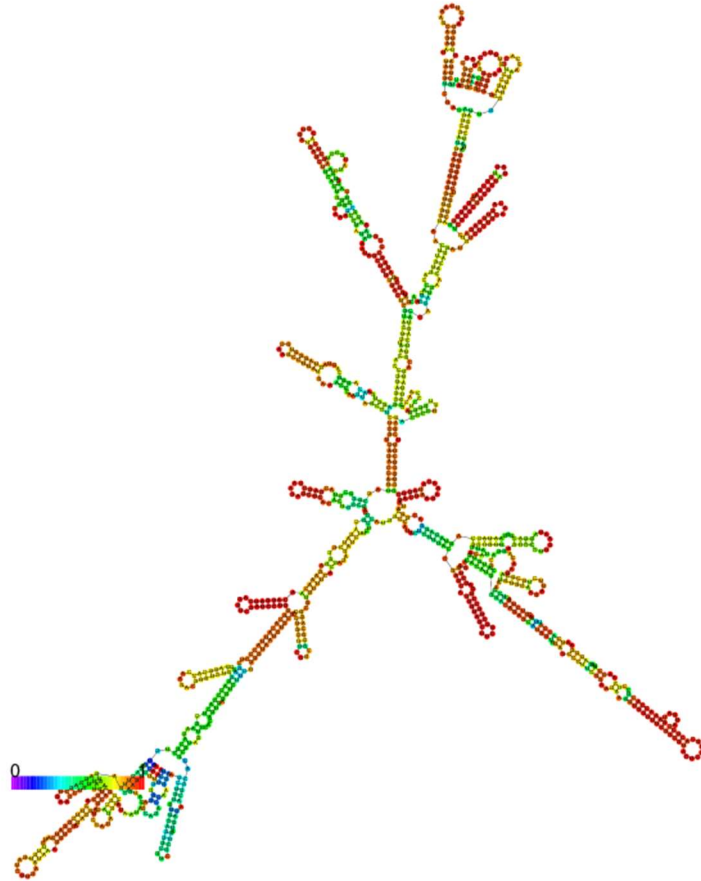
Contig NODE_2993_length_1757_cov_75.457838 encontrado en SRR6943136



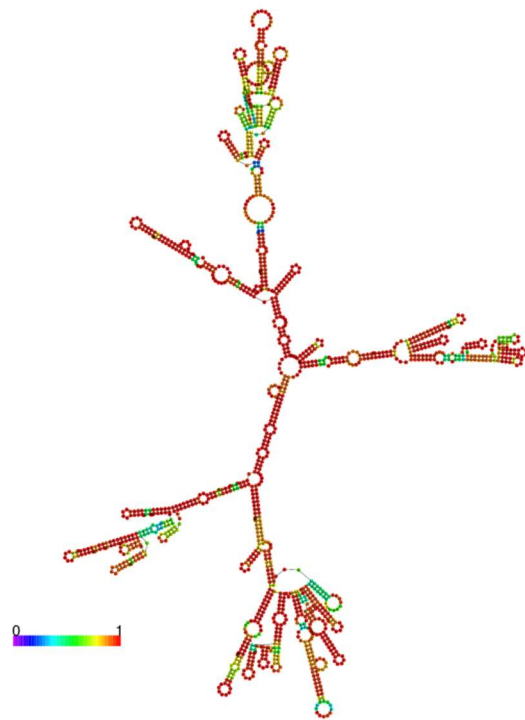
Contig NODE_4246_length_1548_cov_69.526102 encontrado en SRR6943136



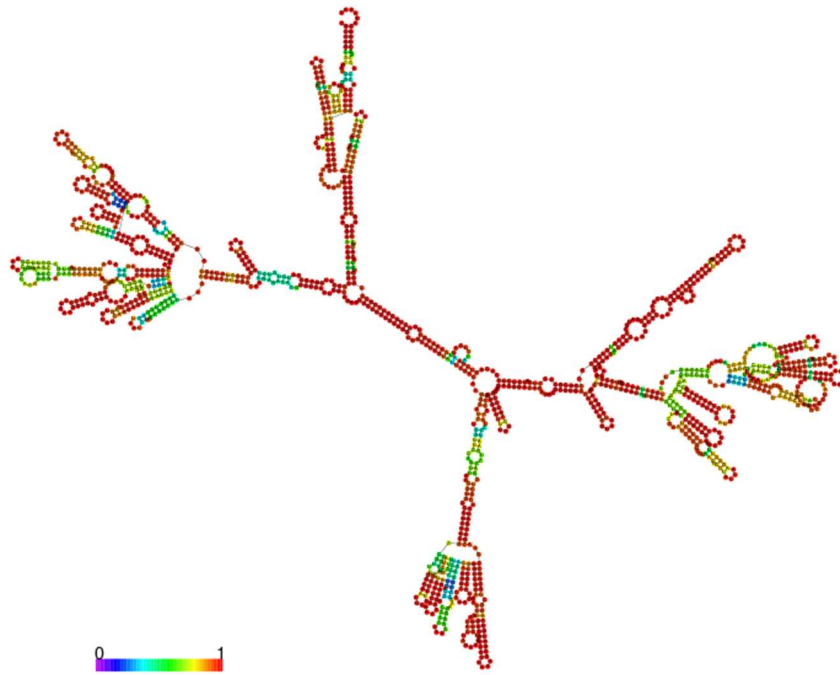
Contig NODE_4489_length_1519_cov_218.419087 encontrado en SRR6943136



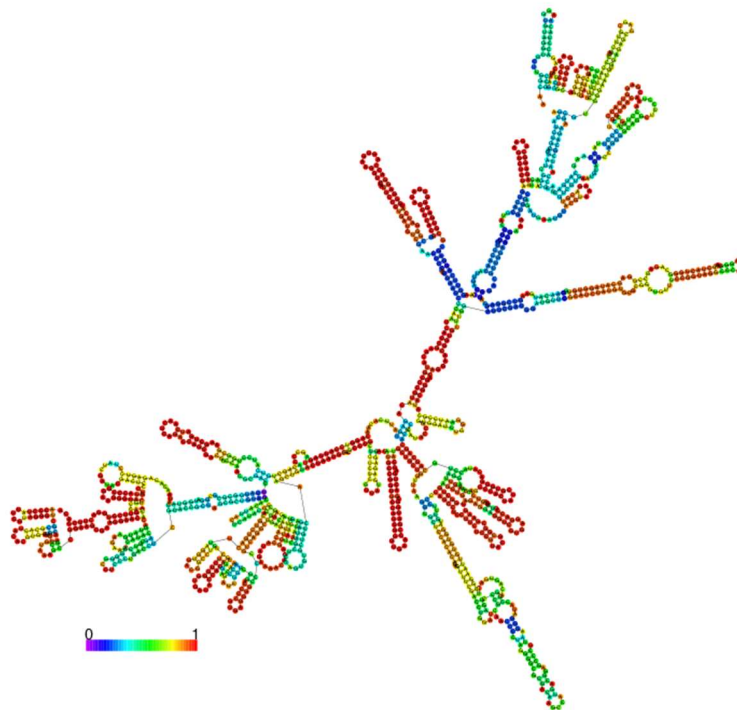
Contig NODE_8971_length_1190_cov_8.210385 encontrado en SRR6943136



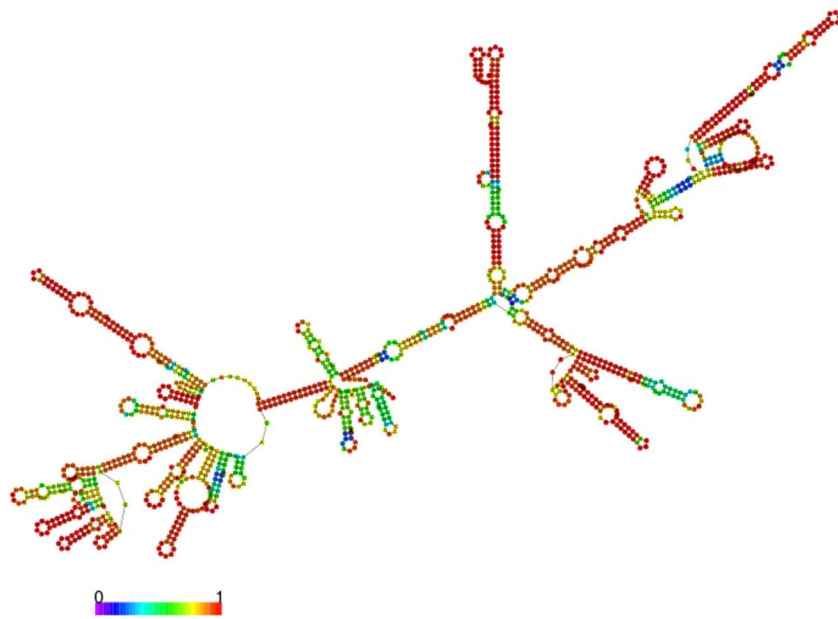
Contig NODE_12704_length_1519_cov_1187.529737 encontrado en SRR6943202



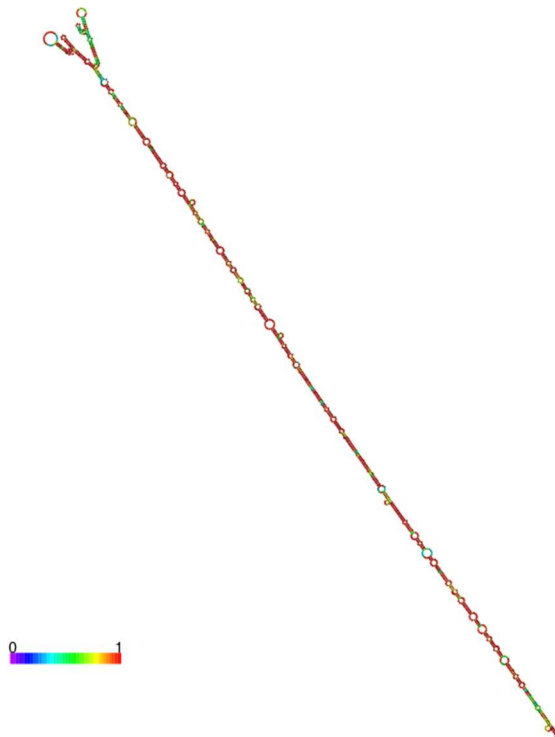
Contig NODE_12958_length_1507_cov_189.006276 encontrado en SRR6943202



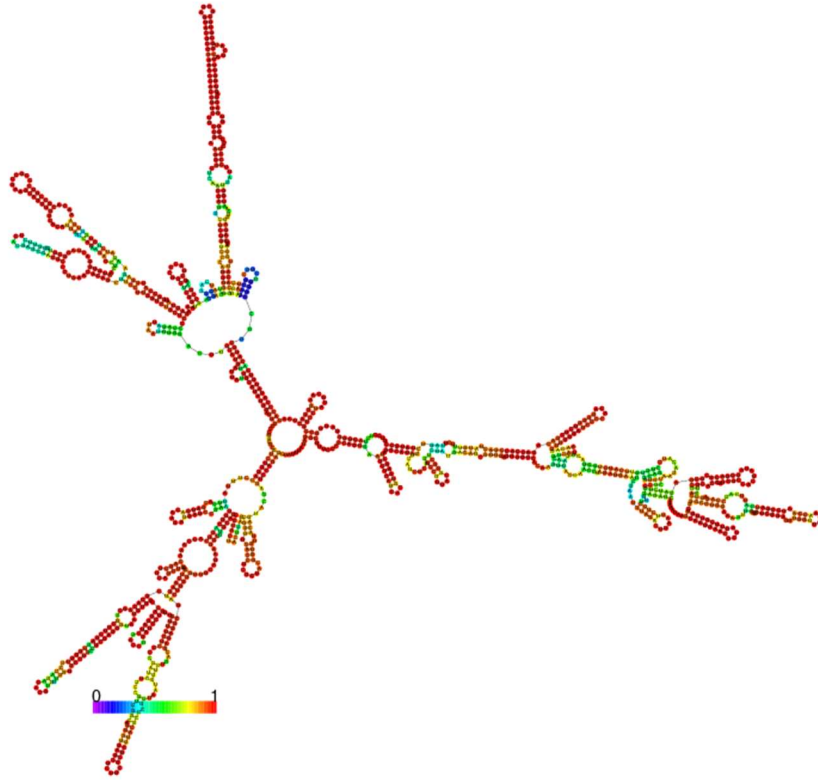
Contig NODE_14101_length_1460_cov_8.706561 encontrado en SRR6943202



Contig NODE_16961_length_1354_cov_37.309133 encontrado en SRR6943202



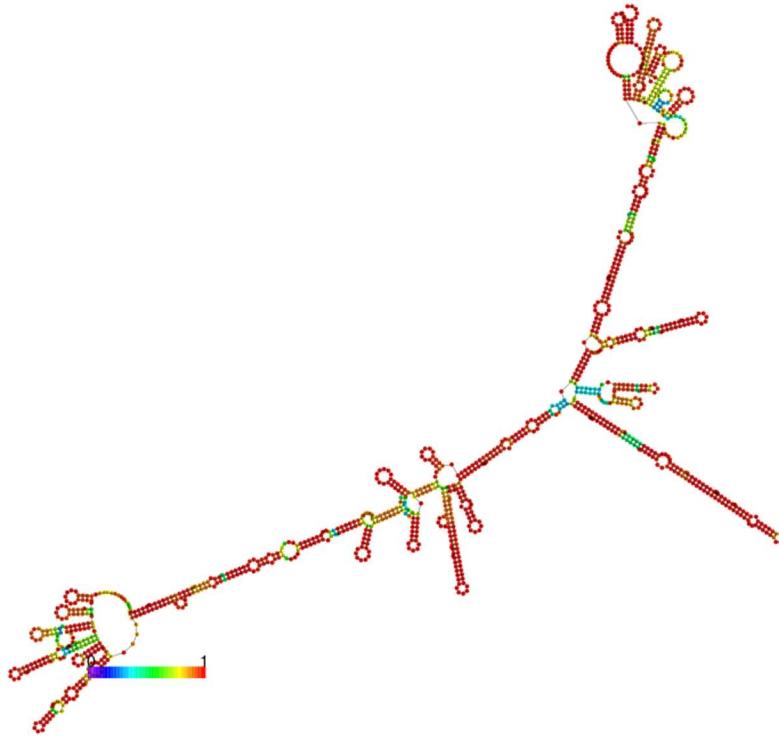
Contig NODE_22183_length_1214_cov_144.185802 encontrado en SRR6943202



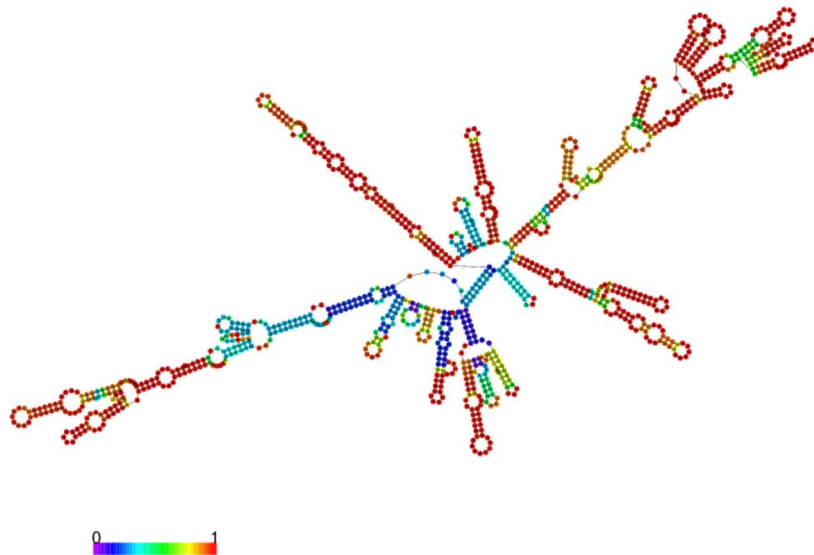
Contig NODE_23178_length_1192_cov_48.541555 encontrado en SRR6943202



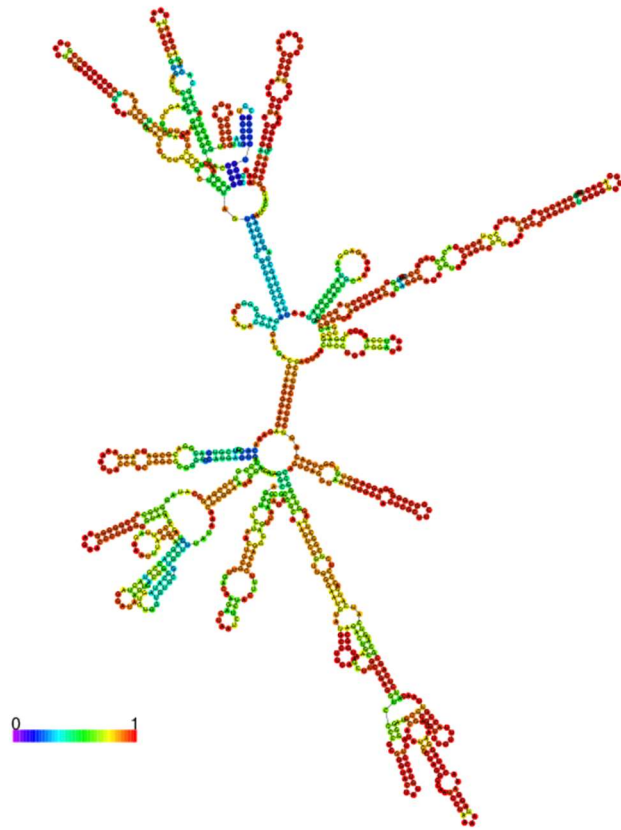
Contig NODE_42293_length_929_cov_94.482477 encontrado en SRR6943202



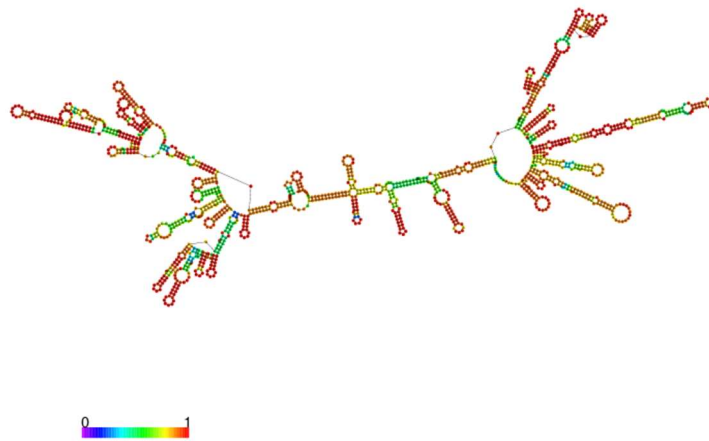
Contig NODE_9976_length_1311_cov_19.197092 encontrado en SRR6973851



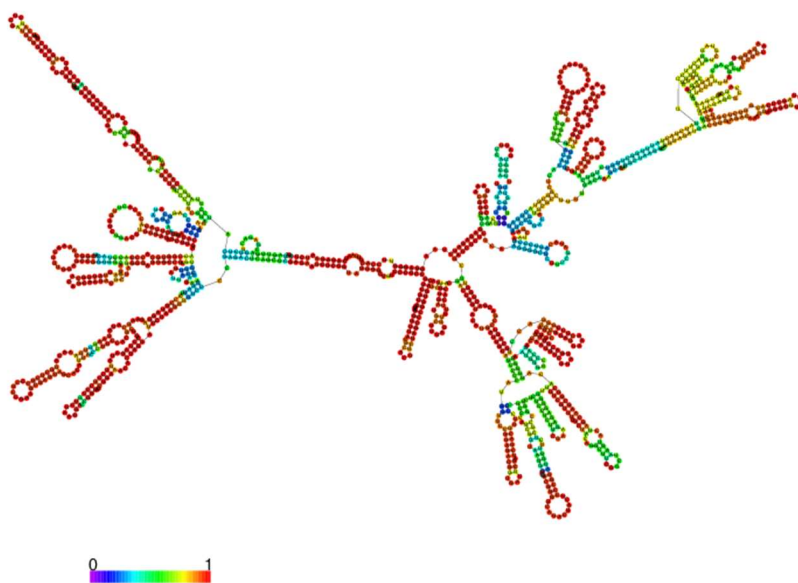
Contig NODE_14079_length_1158_cov_61.329954 encontrado en SRR6973851



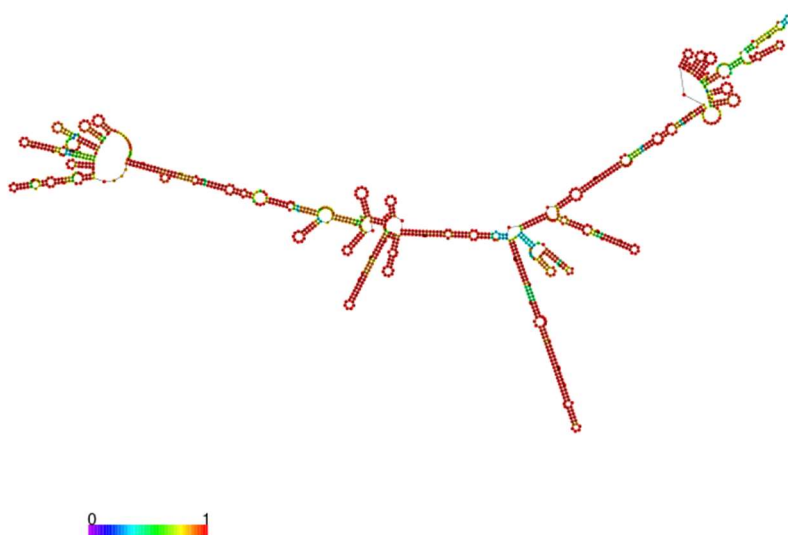
Contig NODE_15982_length_1106_cov_181.427880 encontrado en SRR6973851



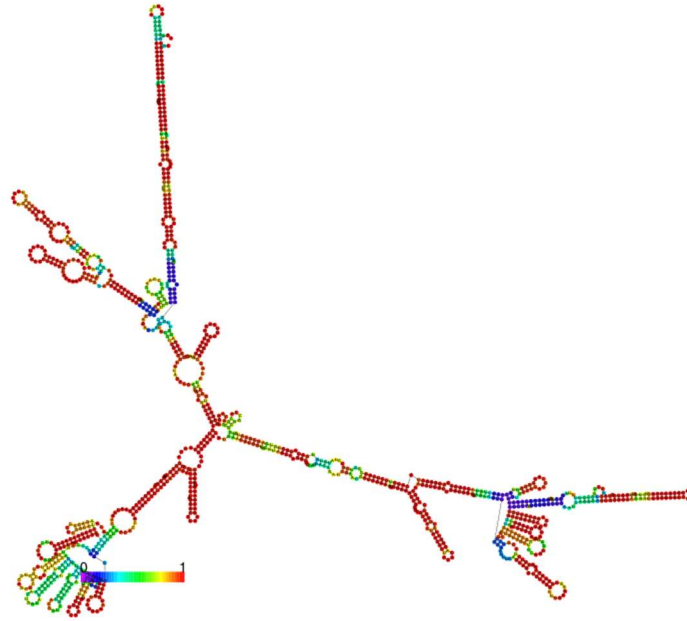
Contig NODE_4368_length_1452_cov_28.347353 encontrado en SRR6973926



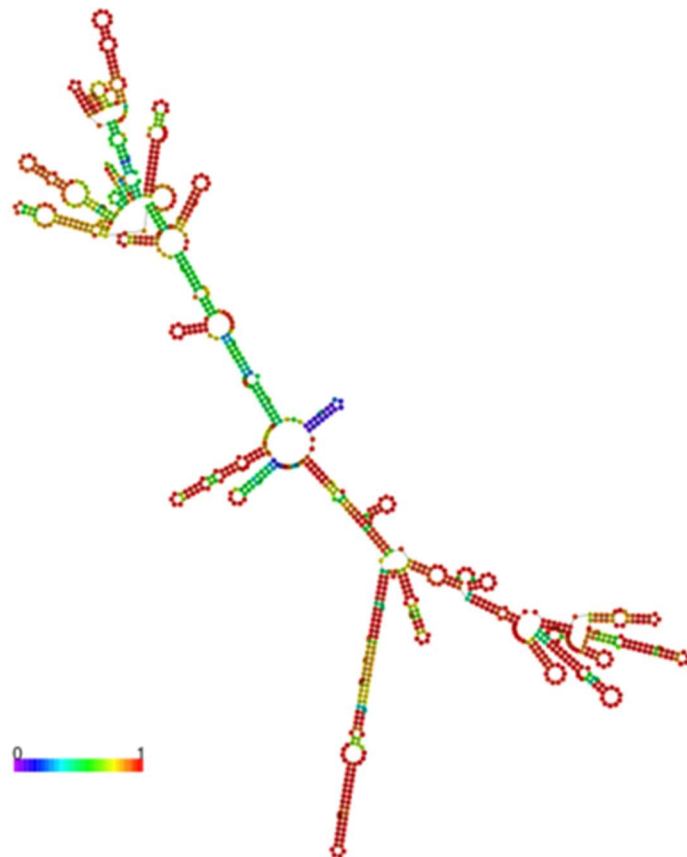
Contig NODE_5421_length_1341_cov_360.090694 encontrado en SRR6973926



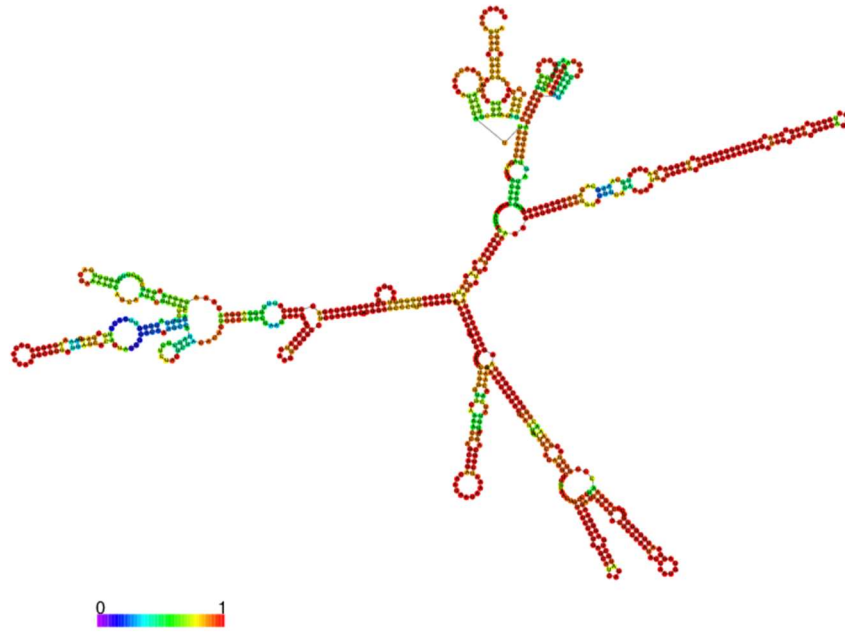
Contig NODE_5825_length_1311_cov_133.840065 encontrado en SRR6973926



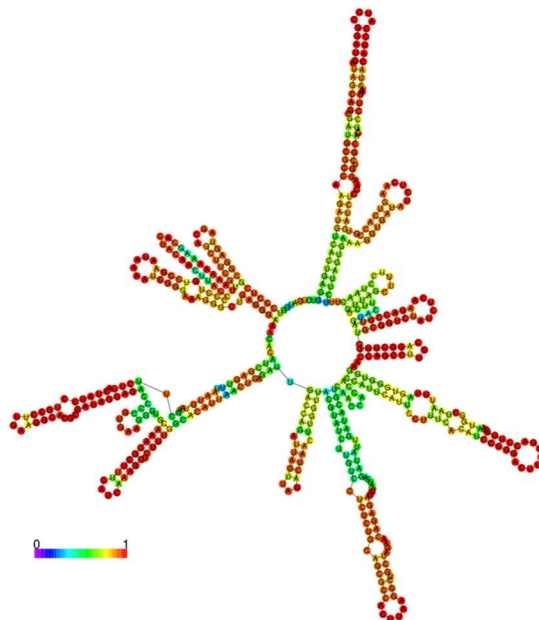
Contig NODE_6448_length_1262_cov_446.709840 encontrado en SRR6973926



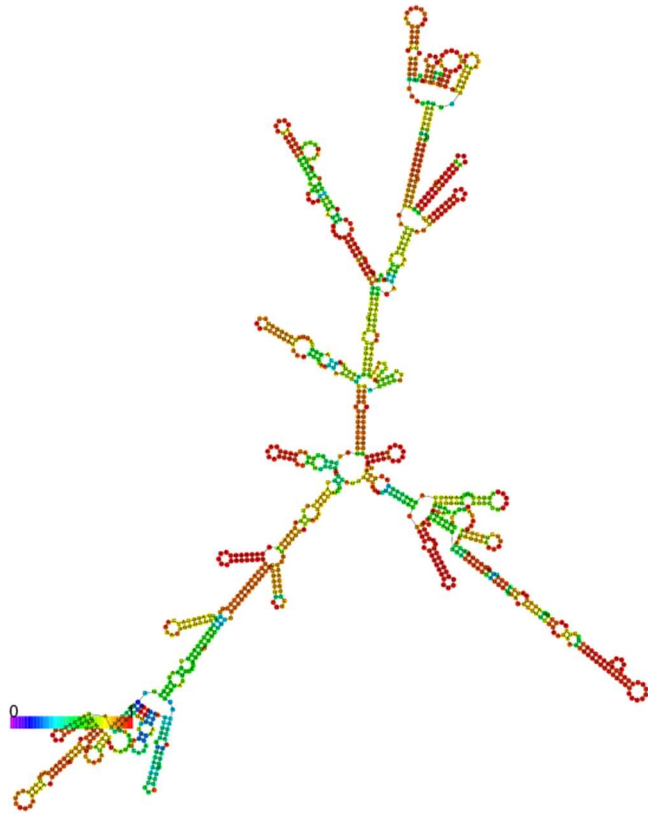
Contig NODE_9471_length_1105_cov_1057.118217 encontrado en SRR6973926



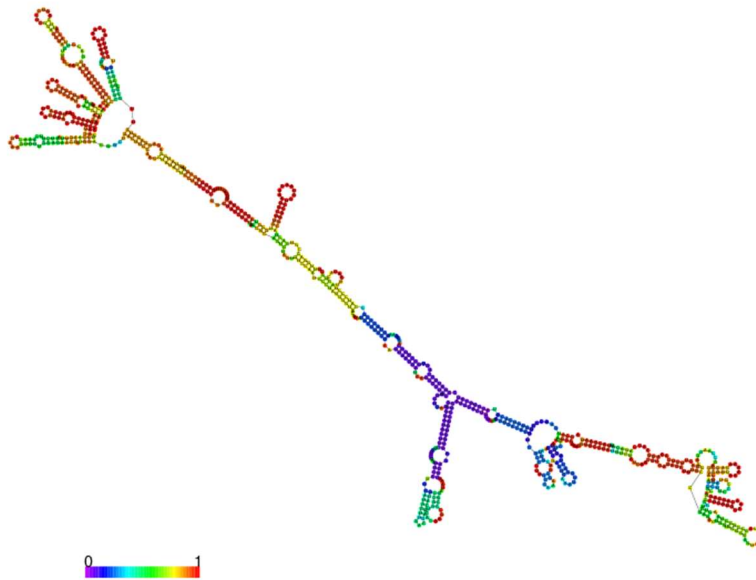
Contig NODE_18312_length_881_cov_6.334158 encontrado en SRR6943113



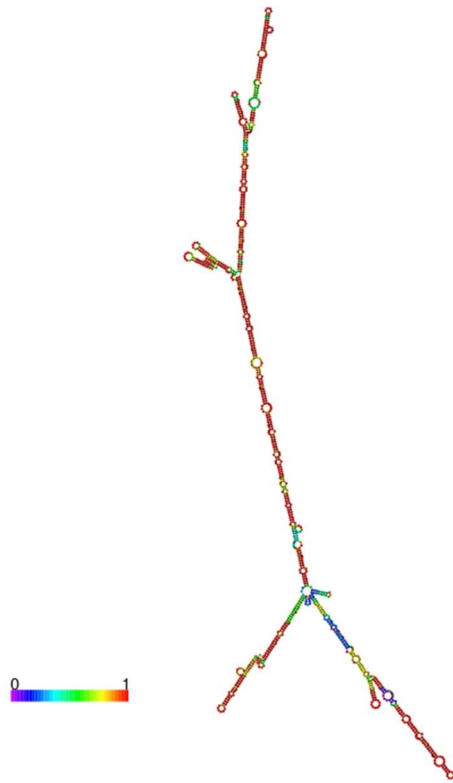
Contig NODE_45131_length_615_cov_134.254613 encontrado en SRR6943113



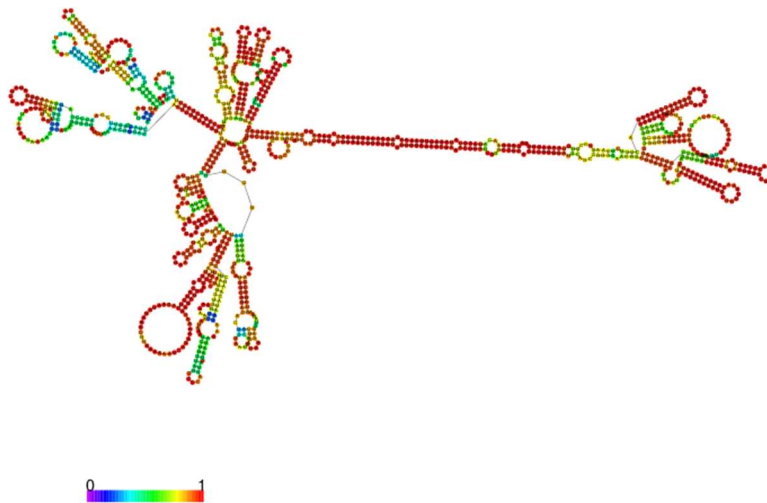
Contig NODE_8971_length_1190_cov_8.210385 encontrado en SRR6943136



Contig NODE_19577_length_897_cov_153.224515 encontrado en SRR6943136



Contig **NODE_9634_length_1159_cov_3.488029** encontrado en SRR6943136



Contig **NODE_2754_length_1773_cov_8.210000** encontrado en SRR6943113

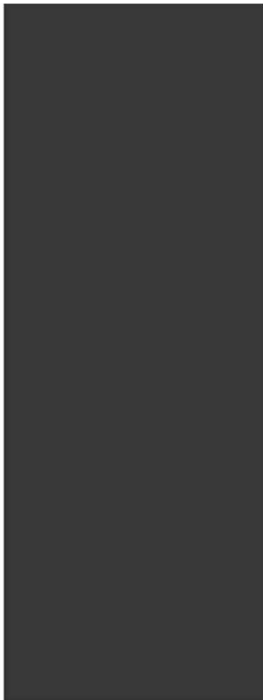
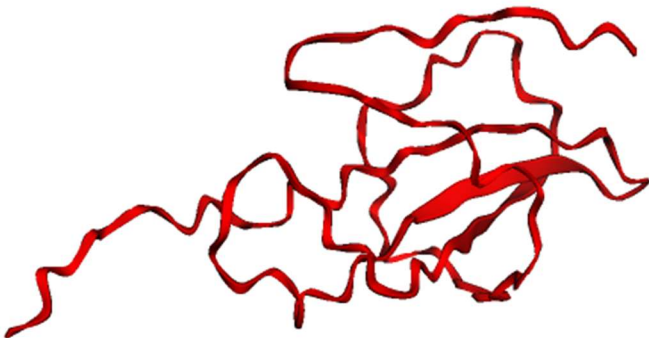
ANEXO V. Estructuras tridimensionales predicha por AlphaFold2 de las proteínas codificada por los contigs HHR-DVR



pLDDT: ■ Very low (<50) ■ Low (60) ■ OK (70) ■ Confident (80) ■ Very high (>90)

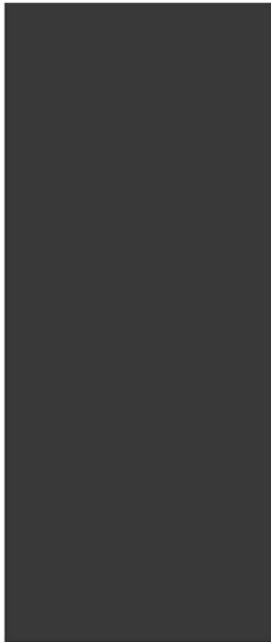
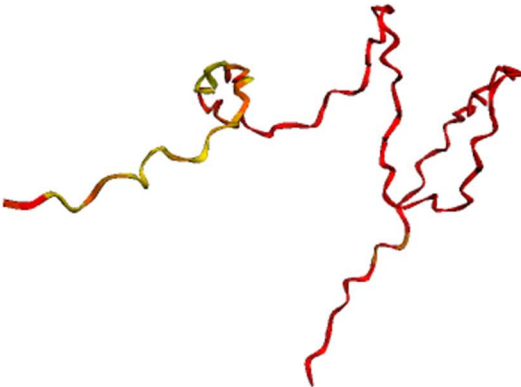
SRR6973926_NODE_10017_length_1082_cov_92.586720_1-1009_1. [44 - 370]. pLDDT 41.6 and ptmscore 0.334

ANEXO VI. Estructuras tridimensionales predicha por AlphaFold2 de las proteínas codificadas por los contigs HPR-HPR



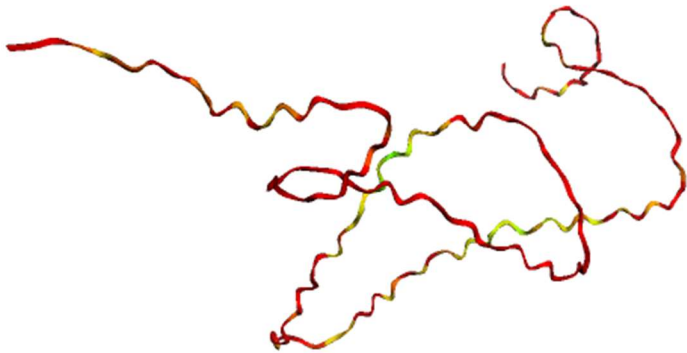
pLDDT: ■ Very low (<50) ■ Low (60) ■ OK (70) ■ Confident (80) ■ Very high (>90)

SRR6943202_NODE_12958_length_1507_cov_189.006276_1 [1047 – 1409]. pLDDT 33.1 and ptmscore 0.226



pLDDT: ■ Very low (<50) ■ Low (60) ■ OK (70) ■ Confident (80) ■ Very high (>90)

SRR6943202_NODE_14101_length_1460_cov_8.706561_1 [1120 - 794] (REVERSE SENSE). pLDDT 45.7 and ptmscore 0.106



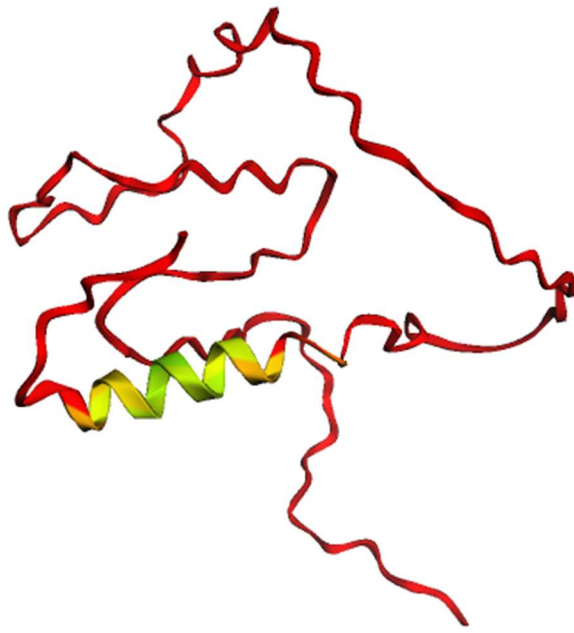
pLDDT: ■ Very low (<50) ■ Low (60) ■ OK (70) ■ Confident (80) ■ Very high (>90)

SRR6943202_NODE_16961_length_1354_cov_37.309133_1 [1606 - 1127] (REVERSE SENSE). pLDDT 48.6 and ptmscore 0.0938.



pLDDT: ■ Very low (<50) ■ Low (60) ■ OK (70) ■ Confident (80) ■ Very high (>90)

SRR6943202_NODE_22183_length_1214_cov_144.185802_1 [18 - 419]. pLDDT 36.5 and ptmscore 0.269



pLDDT: ■ Very low (<50) ■ Low (60) ■ OK (70) ■ Confident (80) ■ Very high (>90)

SRR6943136_NODE_2993_length_1757_cov_75.457838_1 [1463 - 1101] (REVERSE SENSE), pLDDT 40.7 and ptmscore 0.206



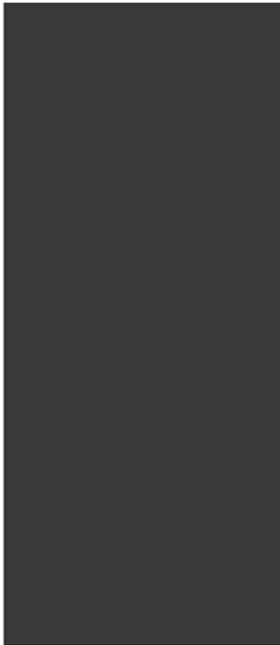
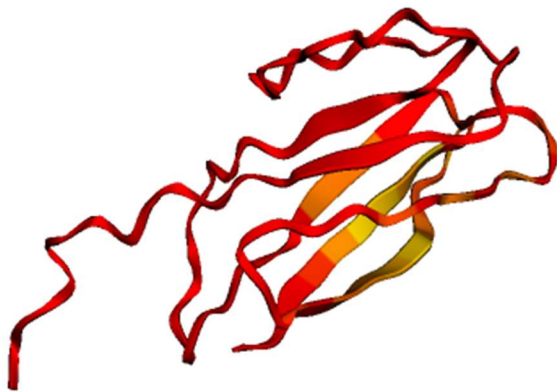
pLDDT: ■ Very low (<50) ■ Low (60) ■ OK (70) ■ Confident (80) ■ Very high (>90)

SRR6943136_NODE_4246_length_1548_cov_69.526102_1 [550 - 945], pLDDT 40 and ptmscore 0.309

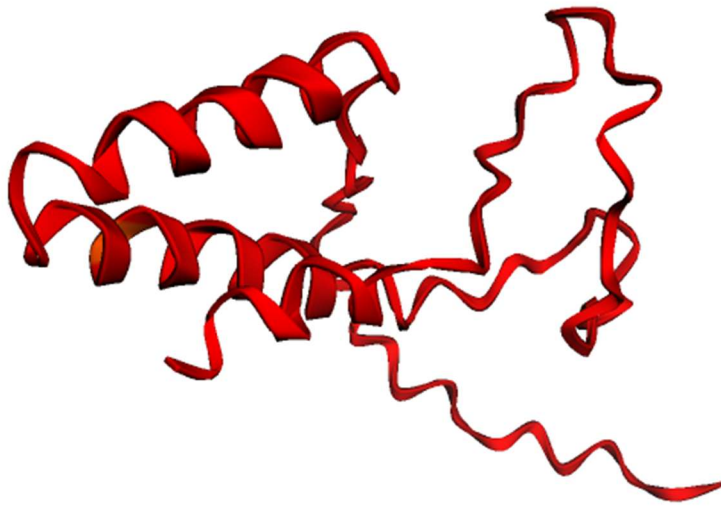
ANEXO VII. Estructura tridimensional predicha por AlphaFold de las proteínas codificadas por los contigs HPR-HHR



pLDDT: ■ Very low (<50) ■ Low (60) ■ OK (70) ■ Confident (80) ■ Very high (>90)
SRR6943202_NODE_10790_length_1619_cov_38.086028_1 [477 - 1133]. pLDDT 36.8 and ptmscore 0.258



IDDT: ■ Very low (<50) ■ Low (60) ■ OK (70) ■ Confident (80) ■ Very high (>90)
SRR6943202_NODE_10790_length_1619_cov_38.086028_2 [506 - 186] (REVERSE SENSE). pLDDT 43.1 and ptmscore 0.311



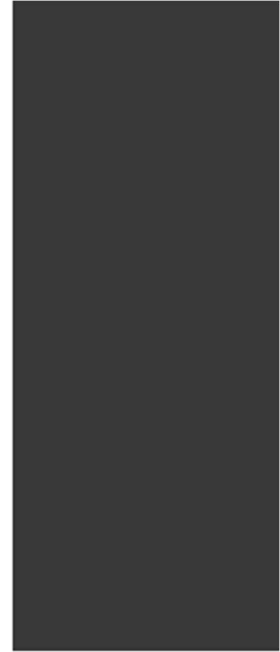
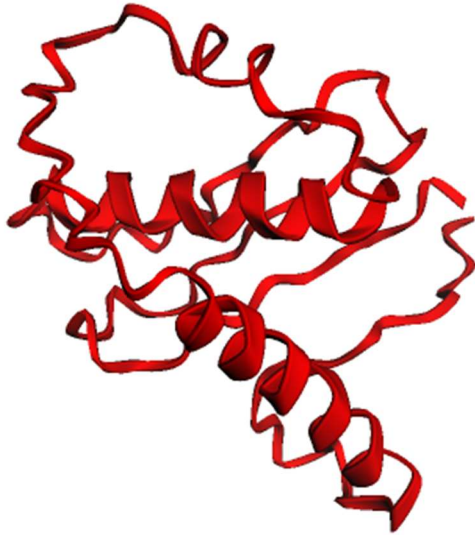
pLDDT: ■ Very low (<50) ■ Low (60) ■ OK (70) ■ Confident (80) ■ Very high (>90)

SRR6943202_NODE_31807_length_1046_cov_7.433710_1 [890 - 1201]. pLDDT 34.5 and ptmscore 0.213



pLDDT: ■ Very low (<50) ■ Low (60) ■ OK (70) ■ Confident (80) ■ Very high (>90)

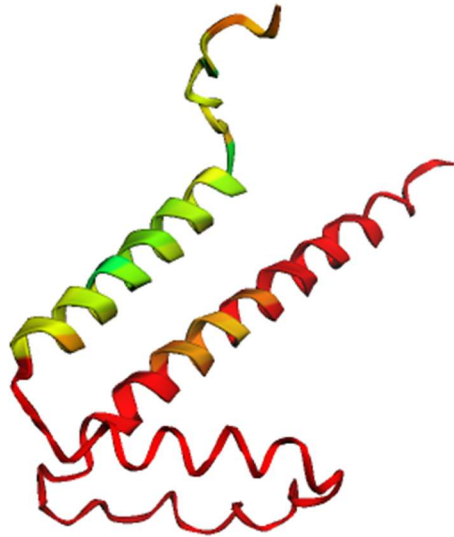
SRR6943202_NODE_4605_length_2280_cov_11.587676_1 [466 - 795]. pLDDT 50.3 and ptmscore 0.4



pLDDT: ■ Very low (<50) ■ Low (60) ■ OK (70) ■ Confident (80) ■ Very high (>90)
SRR6943202_NODE_81354_length_702_cov_4.774245_1 [81 - 476]. pLDDT 33.5 and ptmscore 0.238

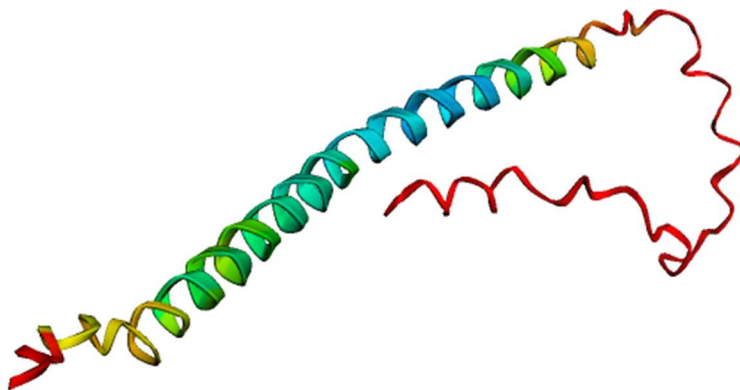


pLDDT: ■ Very low (<50) ■ Low (60) ■ OK (70) ■ Confident (80) ■ Very high (>90)
SRR6943202_NODE_81354_length_702_cov_4.774245_2 [888 - 565] (REVERSE SENSE). pLDDT 44.1
and ptmscore 0.28



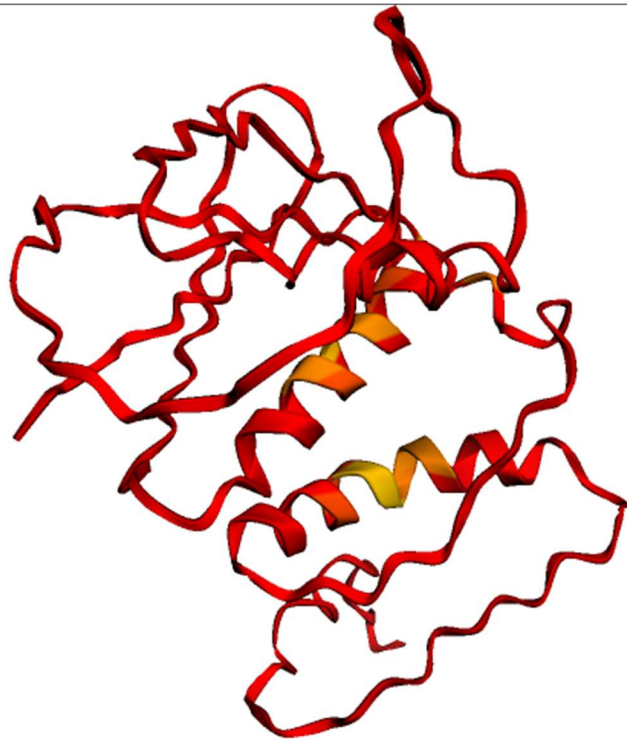
pLDDT: ■ Very low (<50) ■ Low (60) ■ OK (70) ■ Confident (80) ■ Very high (>90)

SRR6943136_NODE_12835_length_1047_cov_5.472279_1 [1147 - 818] (REVERSE SENSE). pLDDT 47.2 and ptmscore 0.254



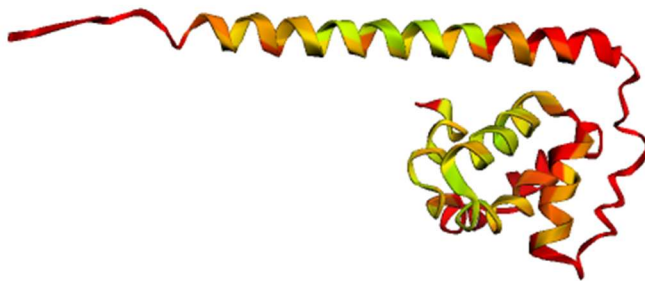
pLDDT: ■ Very low (<50) ■ Low (60) ■ OK (70) ■ Confident (80) ■ Very high (>90)

SRR6943136_NODE_12856_length_1046_cov_10.440904_1 [733 - 422] (REVERSE SENSE). pLDDT 59.1 and ptmscore 0.319



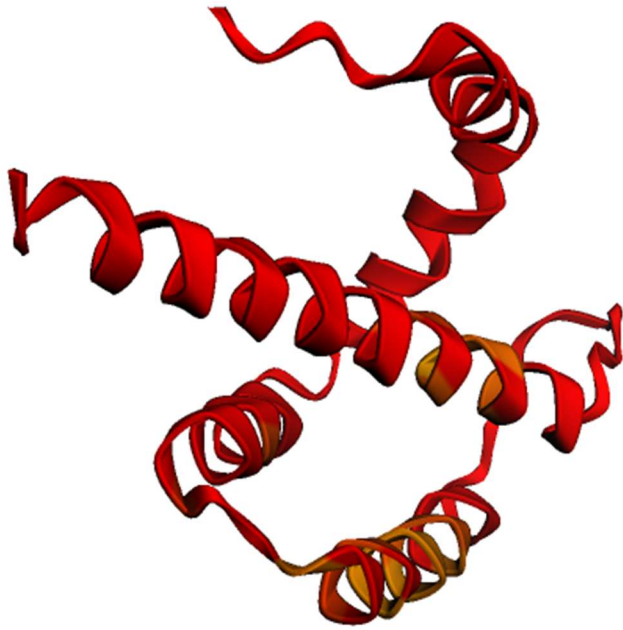
pLDDT: ■ Very low (<50) ■ Low (60) ■ OK (70) ■ Confident (80) ■ Very high (>90)

SRR6943136_NODE_2379_length_1902_cov_10.498633_1 [1808 - 1221] (REVERSE SENSE). pLDDT 35.9 and ptmscore 0.23



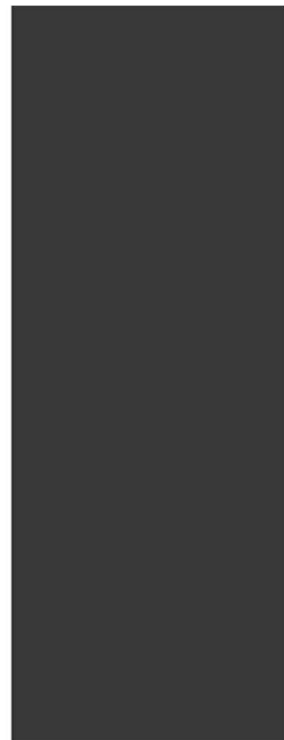
pLDDT: ■ Very low (<50) ■ Low (60) ■ OK (70) ■ Confident (80) ■ Very high (>90)

SRR6943136_NODE_3068_length_1742_cov_14.499700_1 [1344 - 940] (REVERSE SENSE). pLDDT 50.7 and ptmscore 0.312



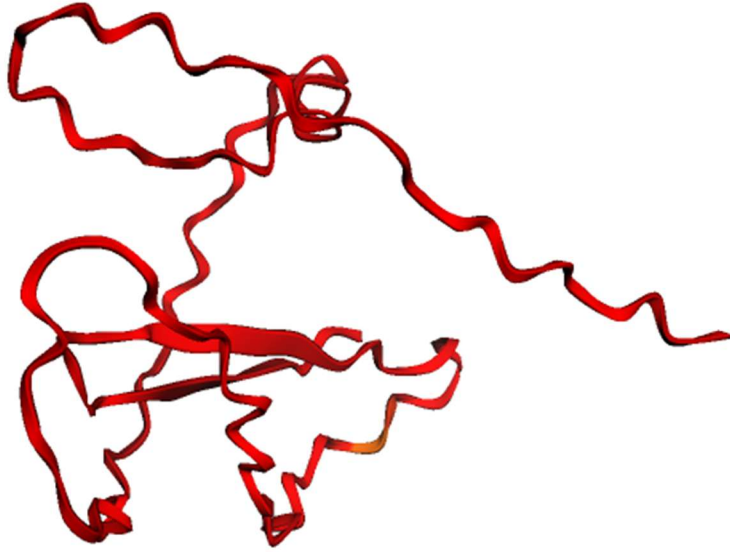
pLDDT: ■ Very low (<50) ■ Low (60) ■ OK (70) ■ Confident (80) ■ Very high (>90)

SRR6943136_NODE_7299_length_1281_cov_22.654801_1 [965 – 1282.] pLDDT 43.3 and ptmscore 0.283



pLDDT: ■ Very low (<50) ■ Low (60) ■ OK (70) ■ Confident (80) ■ Very high (>90)

SRR6943113_NODE_32295_length_705_cov_5.419304_1 [203 - 769]. pLDDT 34 and ptmscore 0.289



pLDDT: ■ Very low (<50) ■ Low (60) ■ OK (70) ■ Confident (80) ■ Very high (>90)

*SRR6943113_NODE_32295_length_705_cov_5.419304_2 [624 - 265] (REVERSE SENSE). pLDDT 36.4
and ptmscore 0.207*